

Das Myonrätsel der kosmischen Strahlung

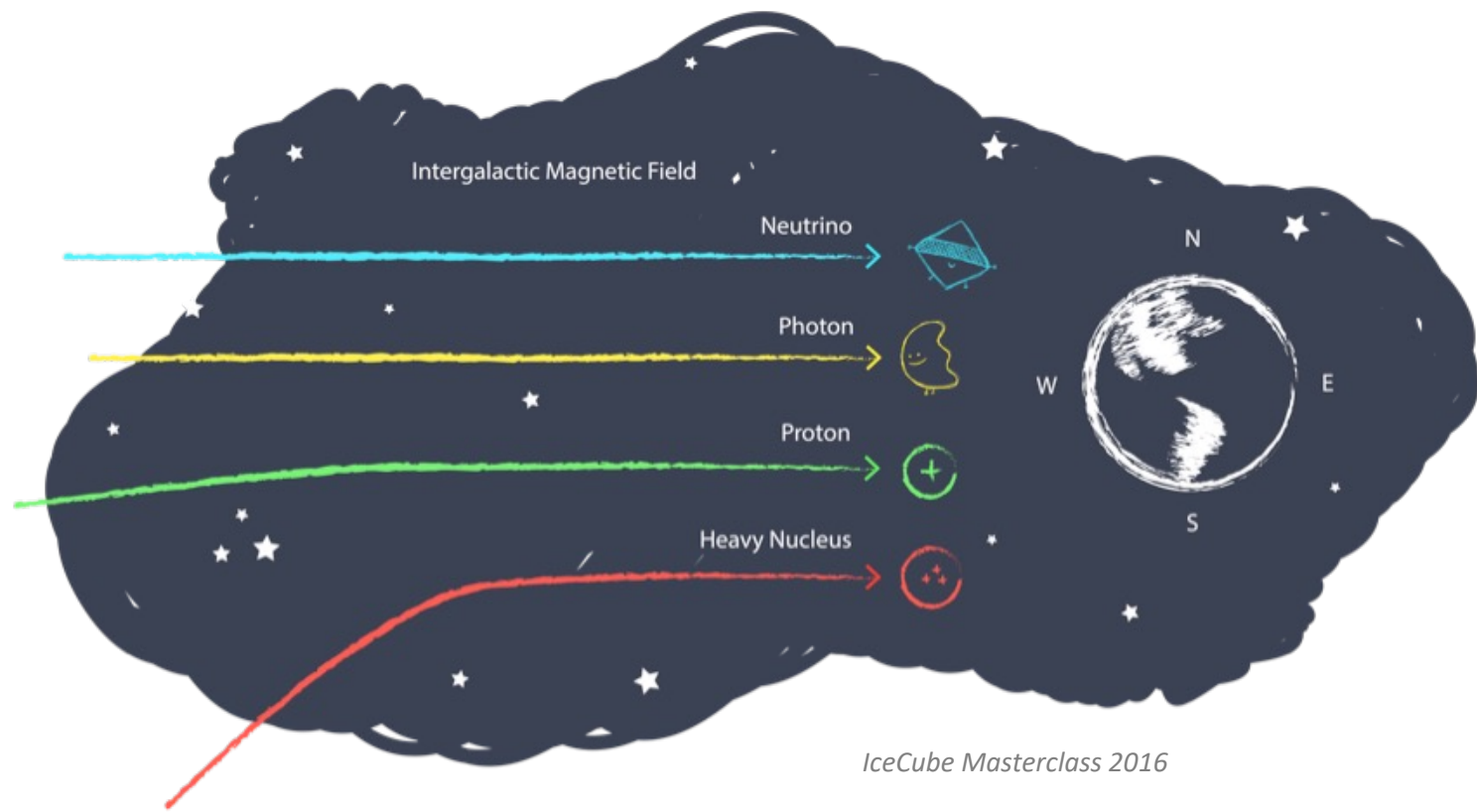
Hans Dembinski, TU Dortmund



Faszination Astronomie Online
#FasziAstroOnline

Astroteilchenphysik

Beobachtung von extremen nicht-thermischen Prozessen
Schwarze Löcher, Supanovas, ...,
Zerfall von dunkler Materie oder kosmischen Strings



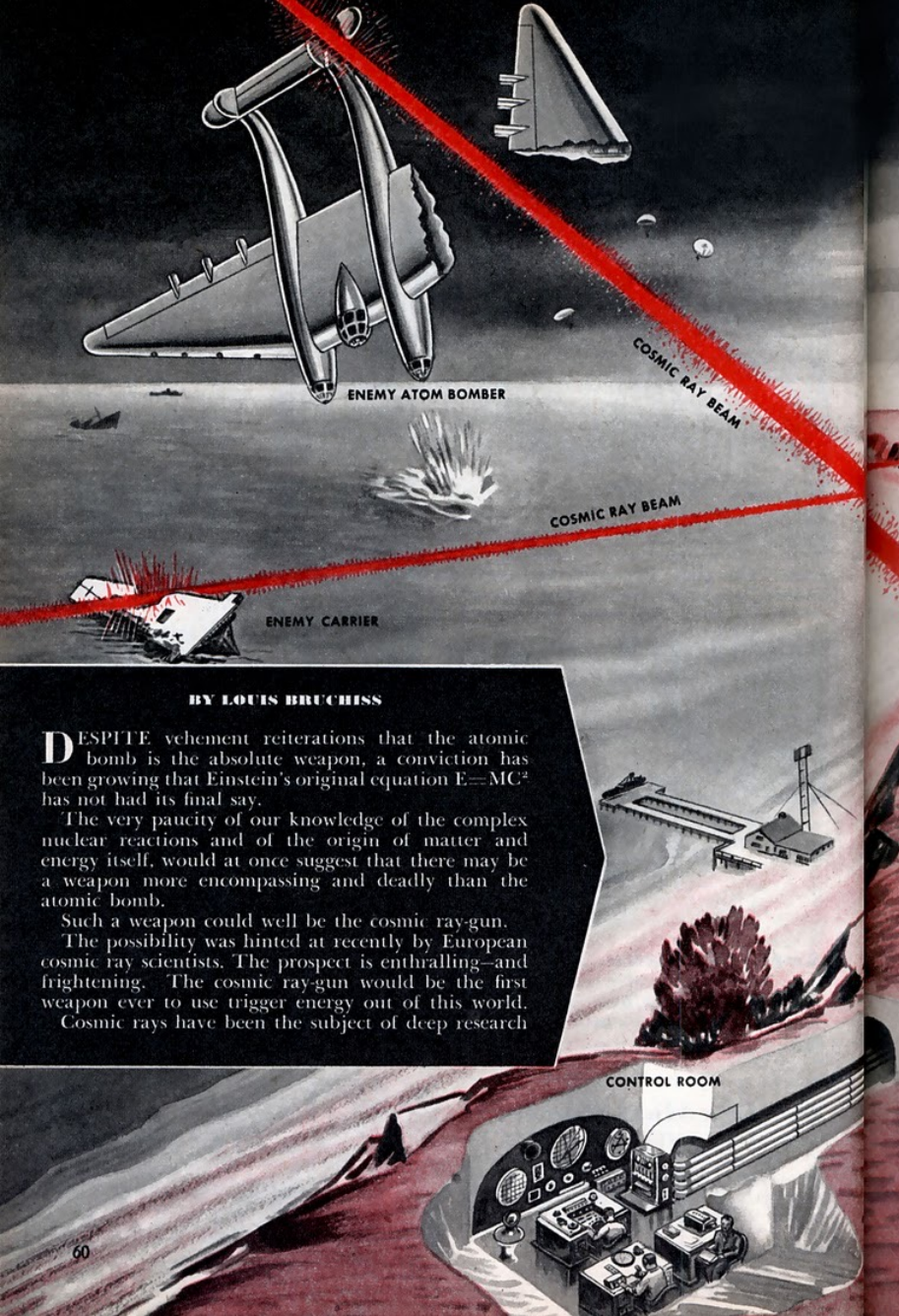
Kosmische Strahlung



Hess, 1912



Fantastic 4, Stan Lee & Jack Kirby



BY LOUIS BRUCHISS

DESPITE vehement reiterations that the atomic bomb is the absolute weapon, a conviction has been growing that Einstein's original equation $E=MC^2$ has not had its final say.

The very paucity of our knowledge of the complex nuclear reactions and of the origin of matter and energy itself, would at once suggest that there may be a weapon more encompassing and deadly than the atomic bomb.

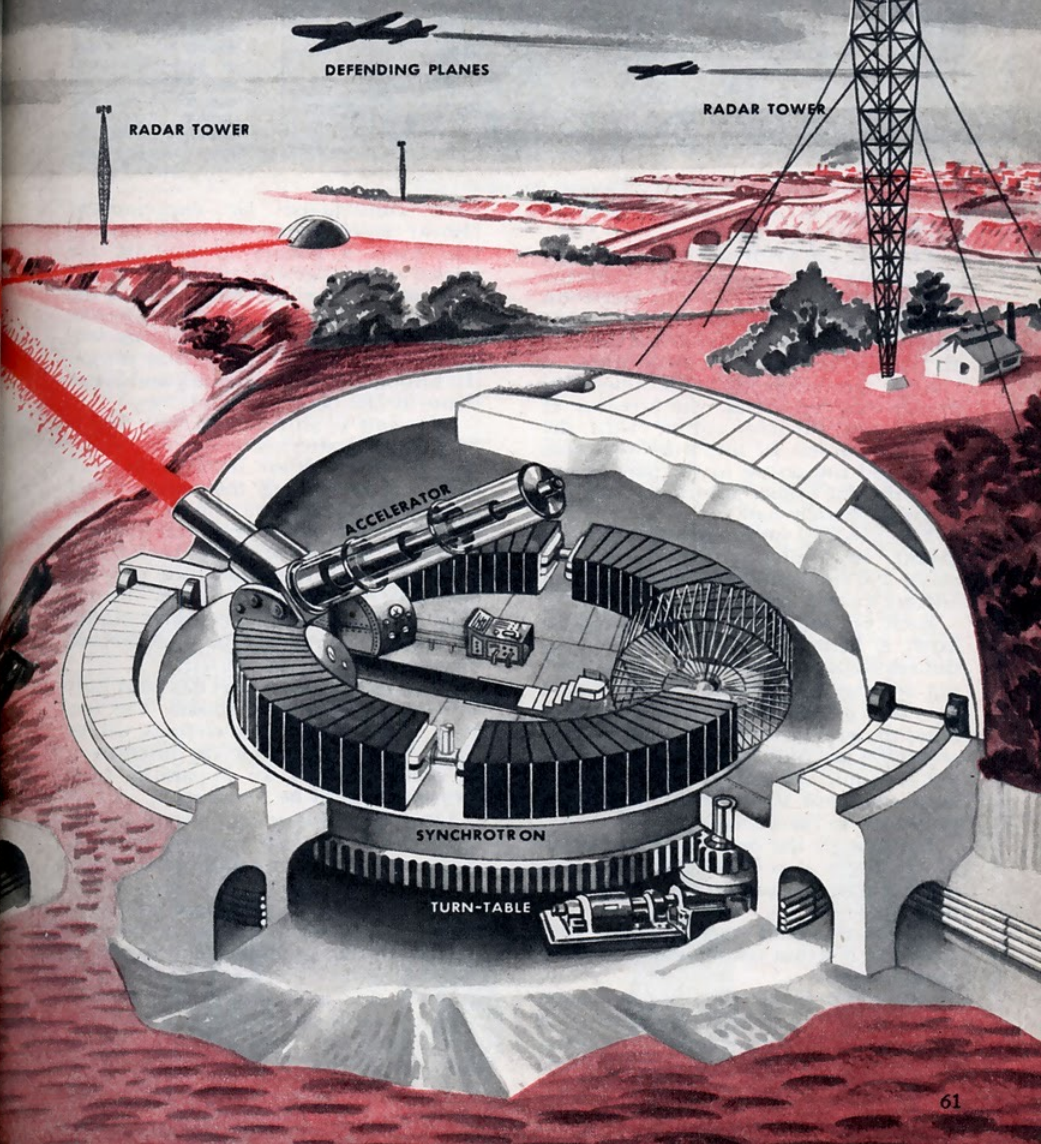
Such a weapon could well be the cosmic ray-gun.

The possibility was hinted at recently by European cosmic ray scientists. The prospect is enthralling—and frightening. The cosmic ray-gun would be the first weapon ever to use trigger energy out of this world.

Cosmic rays have been the subject of deep research

COSMIC RAY-GUN

Atoms exploded by cosmic rays release far more radiation than is obtained by ordinary fission. Here's a potential death-ray!

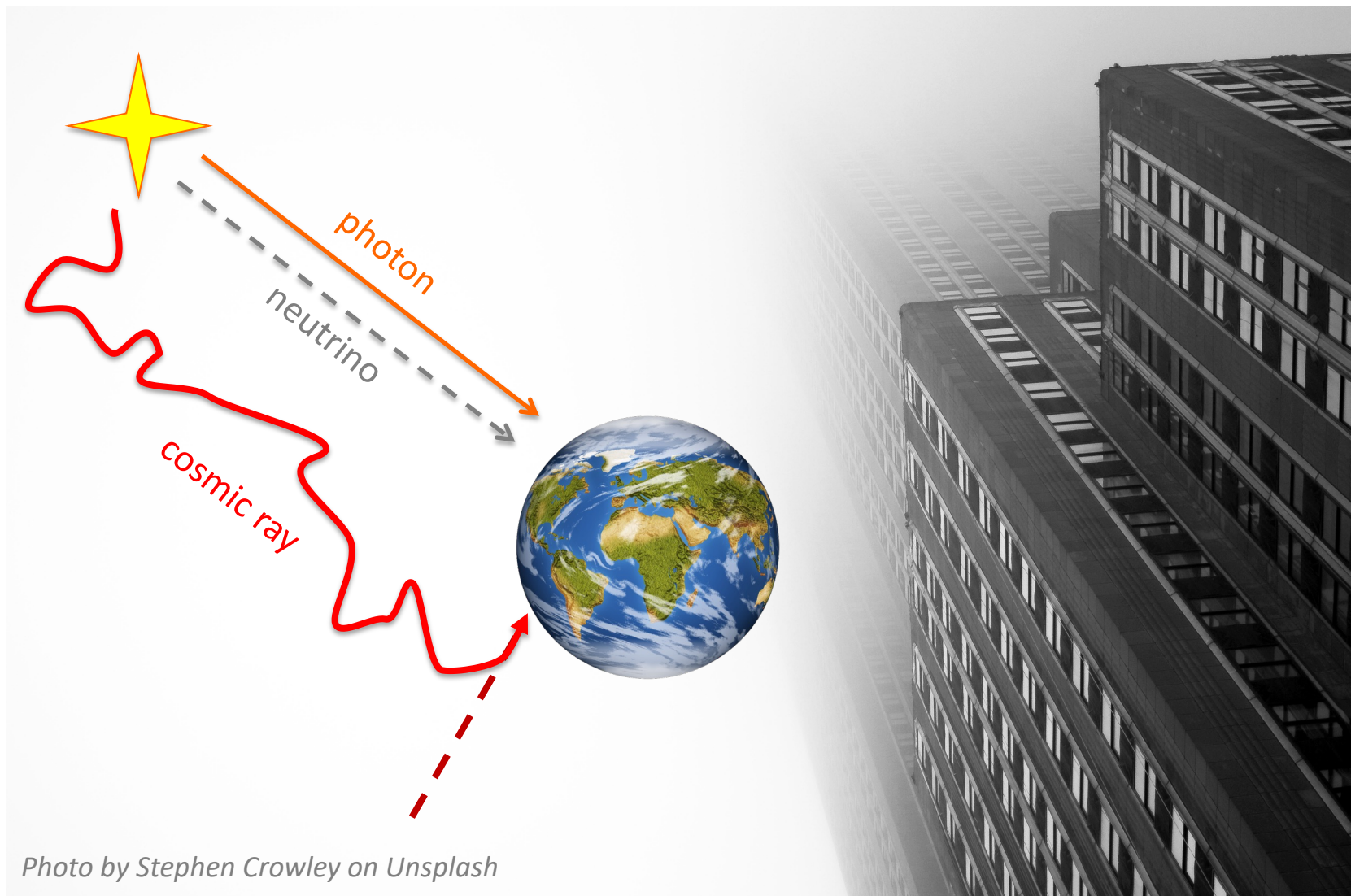


Astronomie mit kosmischer Strahlung?



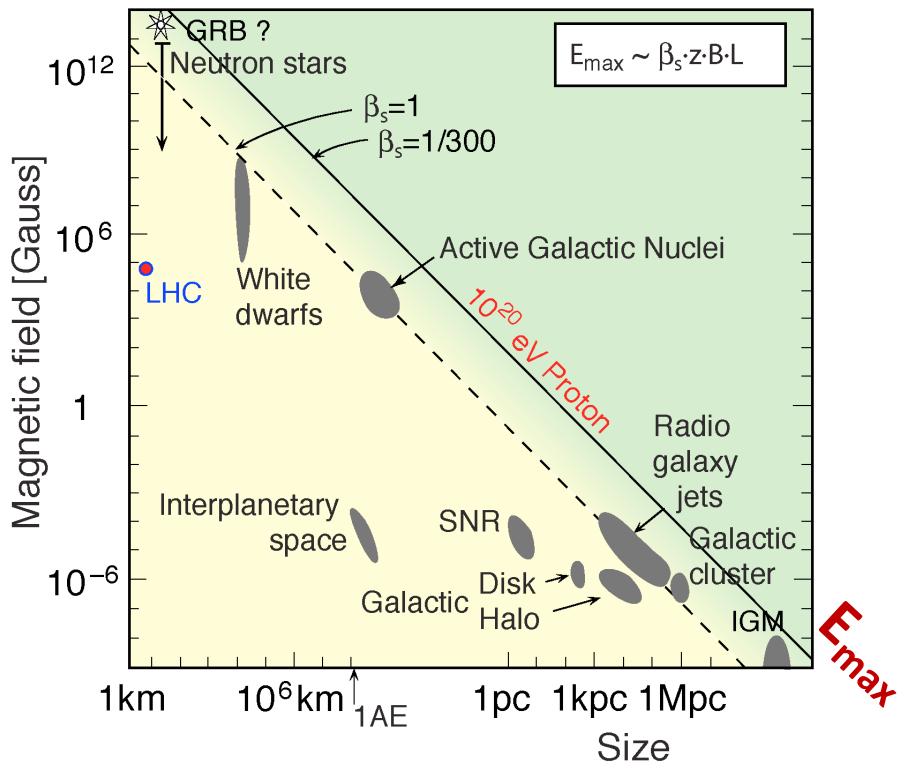
Photo by Stephen Crowley on Unsplash

Astronomie mit kosmischer Strahlung?



Quellen?

Hillas plot

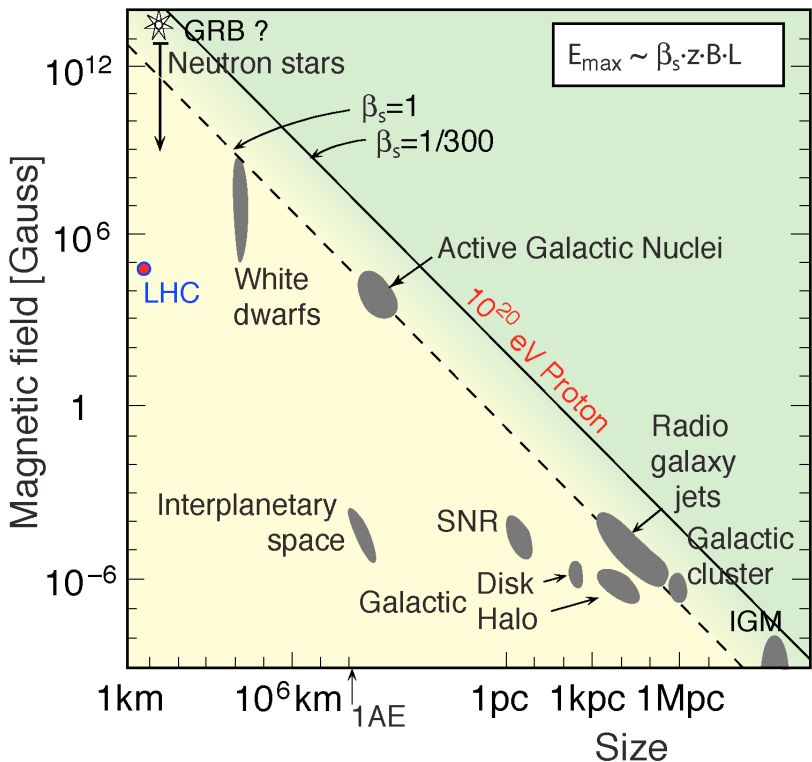


$$E_{\max} \sim B \cdot L$$

Maximalenergie der kosmischen Strahlung

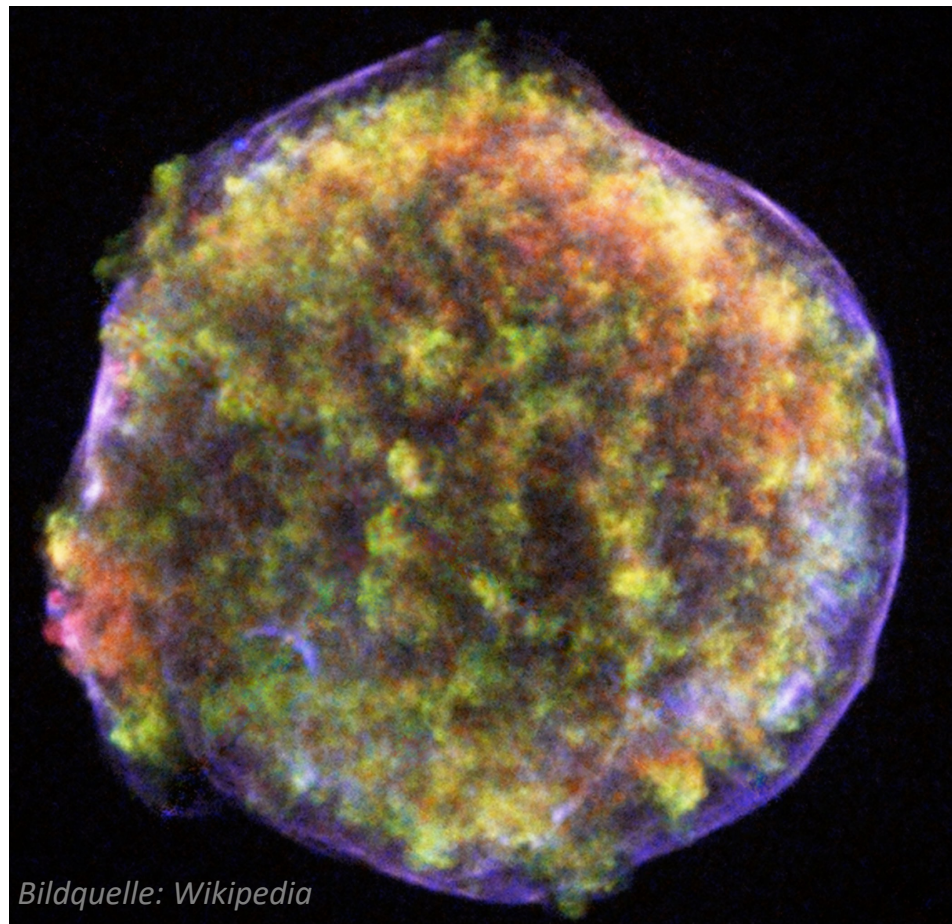
Quellen?

Hillas plot



Galaktische Quelle?

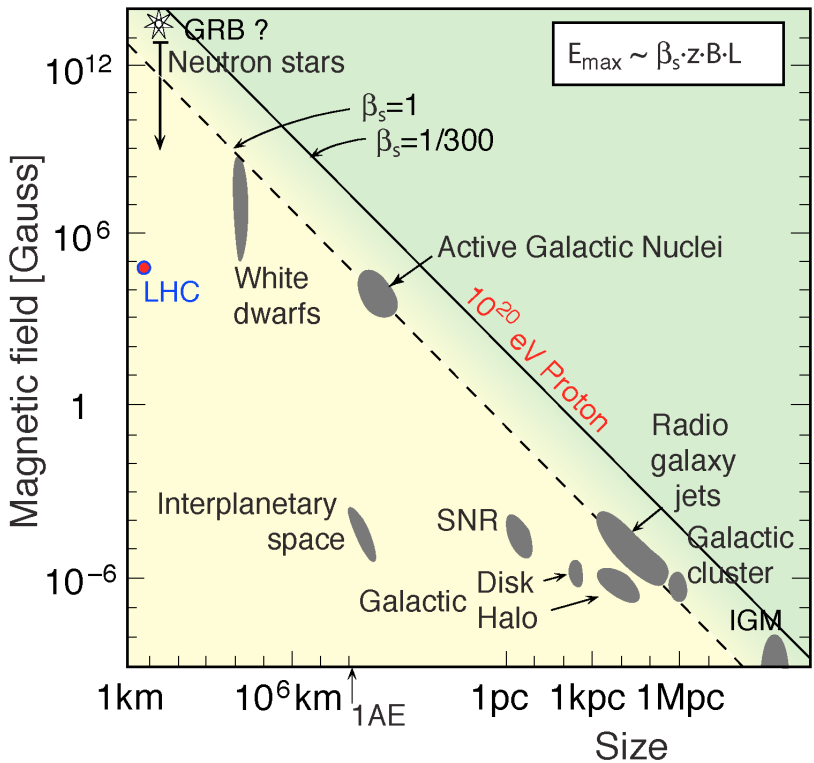
Überrest von Tychos Supernova 1572



Bildquelle: Wikipedia

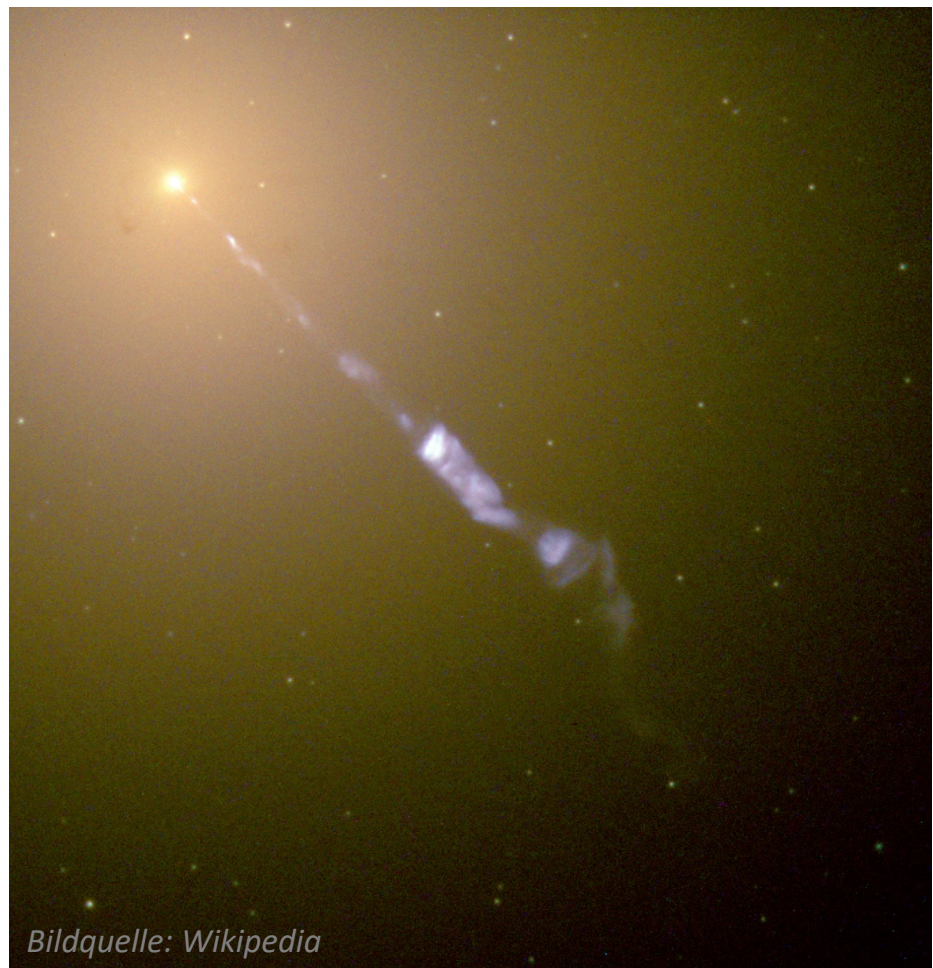
Quellen?

Hillas plot



Extra-galaktische Quelle?

Galaxie M87 mit aktivem Kern und Jet

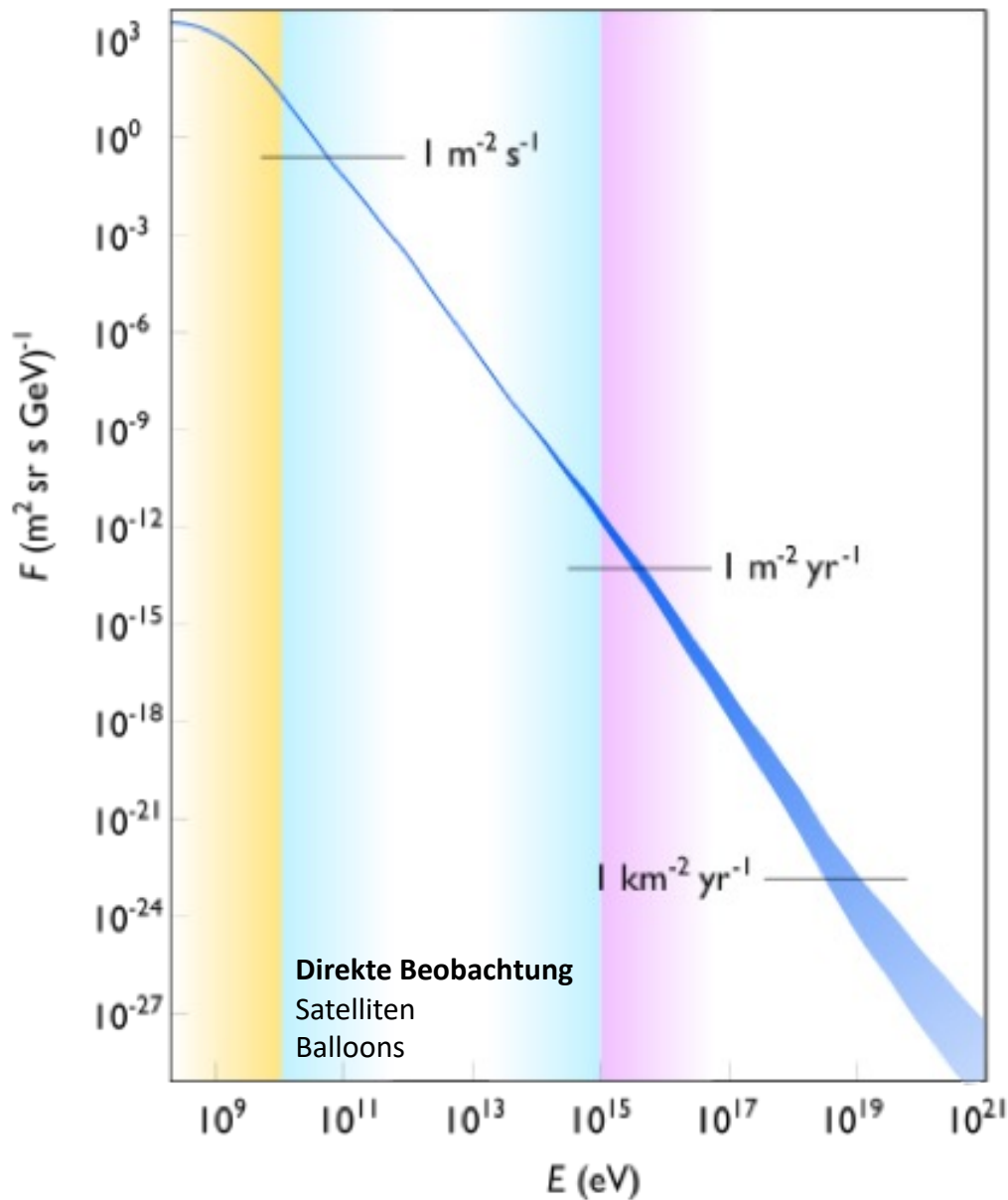


Bildquelle: Wikipedia



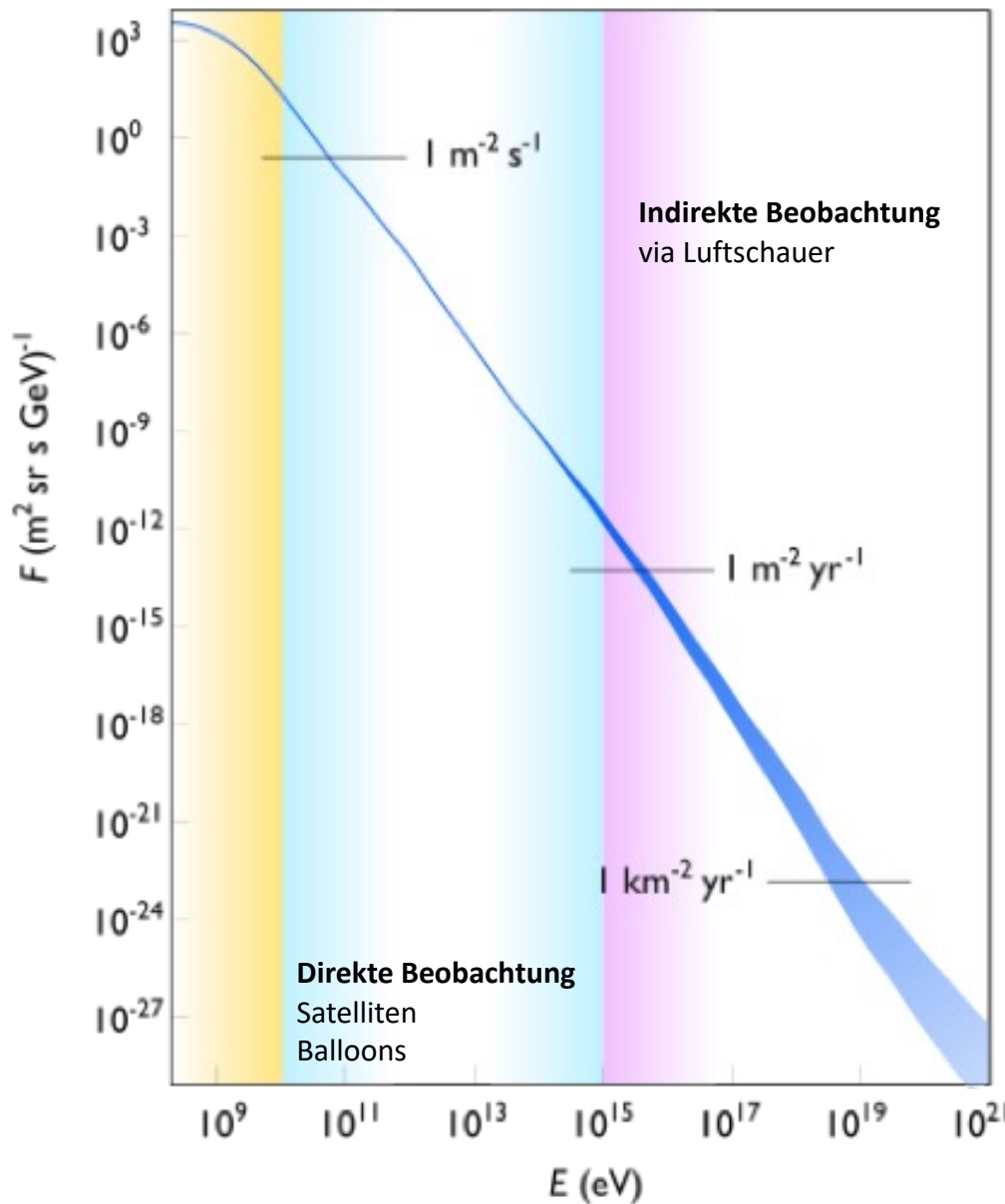
Bildquelle: DESY

Beobachtung kosmischer Strahlung



Bildquelle: NASA

Beobachtung kosmischer Strahlung





Luftschauer

Künstlerische Darstellung

Image credit: Rebecca Pitt, Discovering Particles, CC BY-ND-NC 2.0

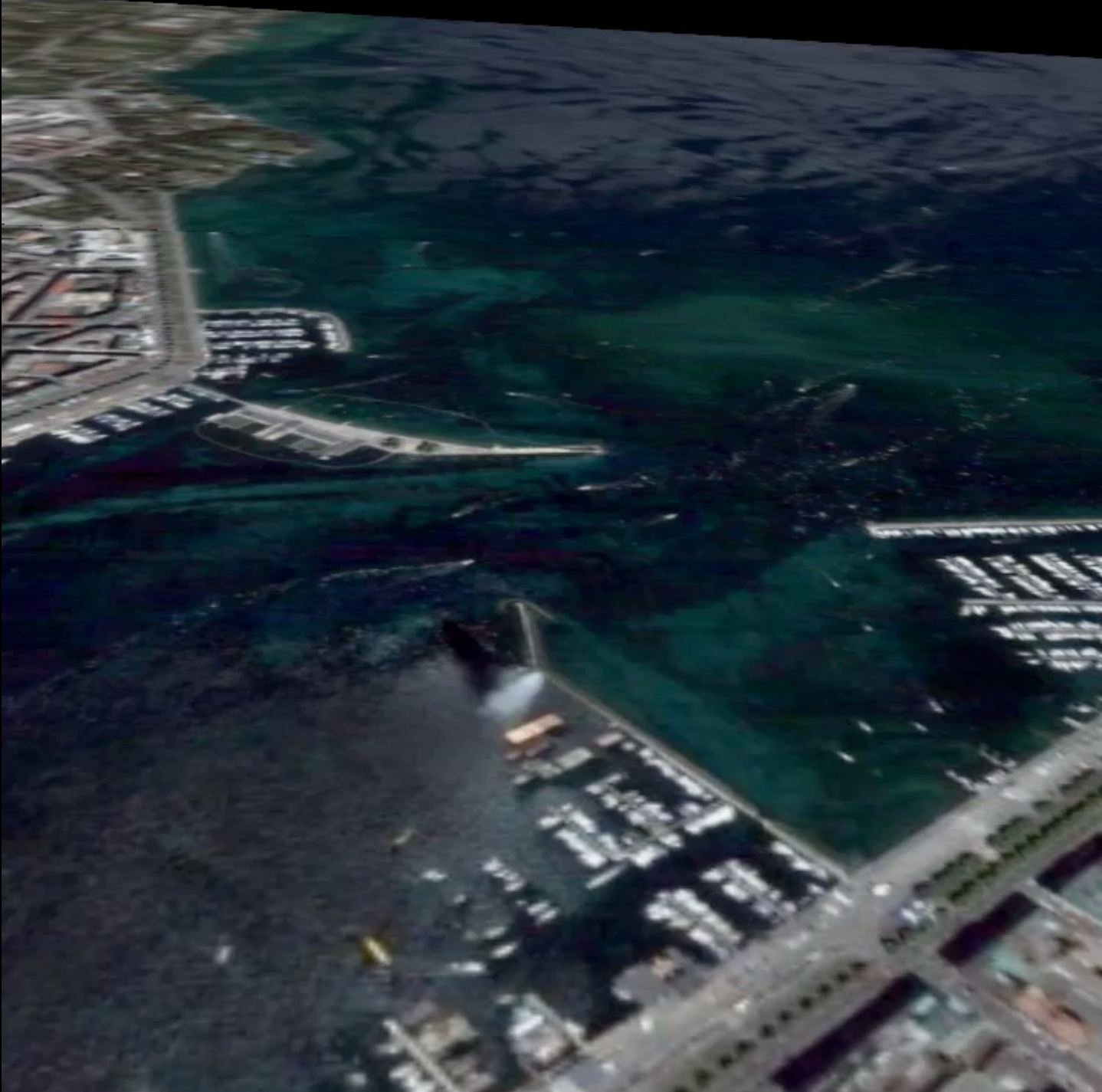


10 GeV proton in cloud chamber with lead absorbers at 3027 m altitude

K.-H. Kampert and A.A. Watson,
Eur. Phys. J. H37 (2012) 359-412



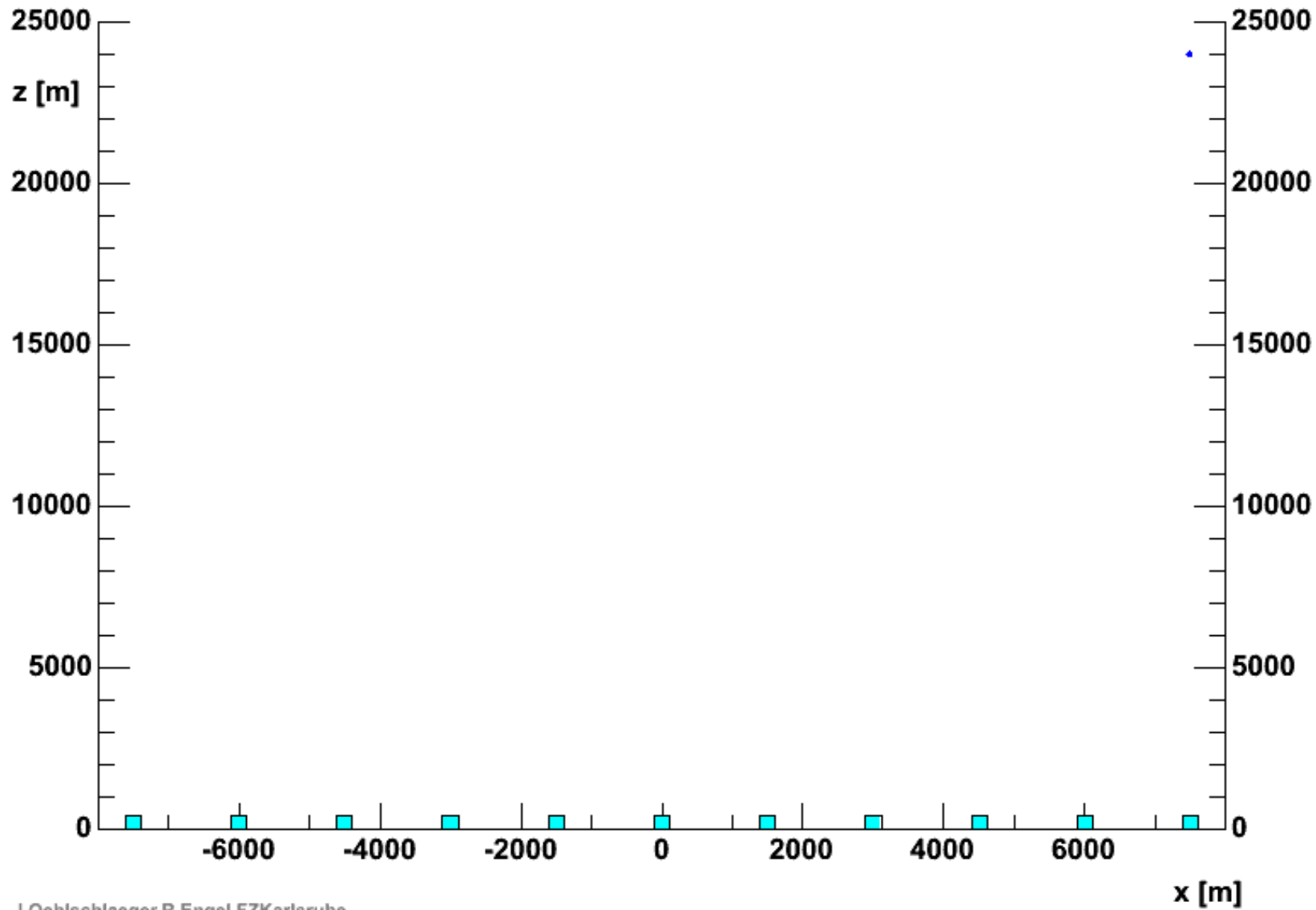
Quelle: University of Chicago



hadrons muons electrs neutrals

Proton 10^{14} eV

23975

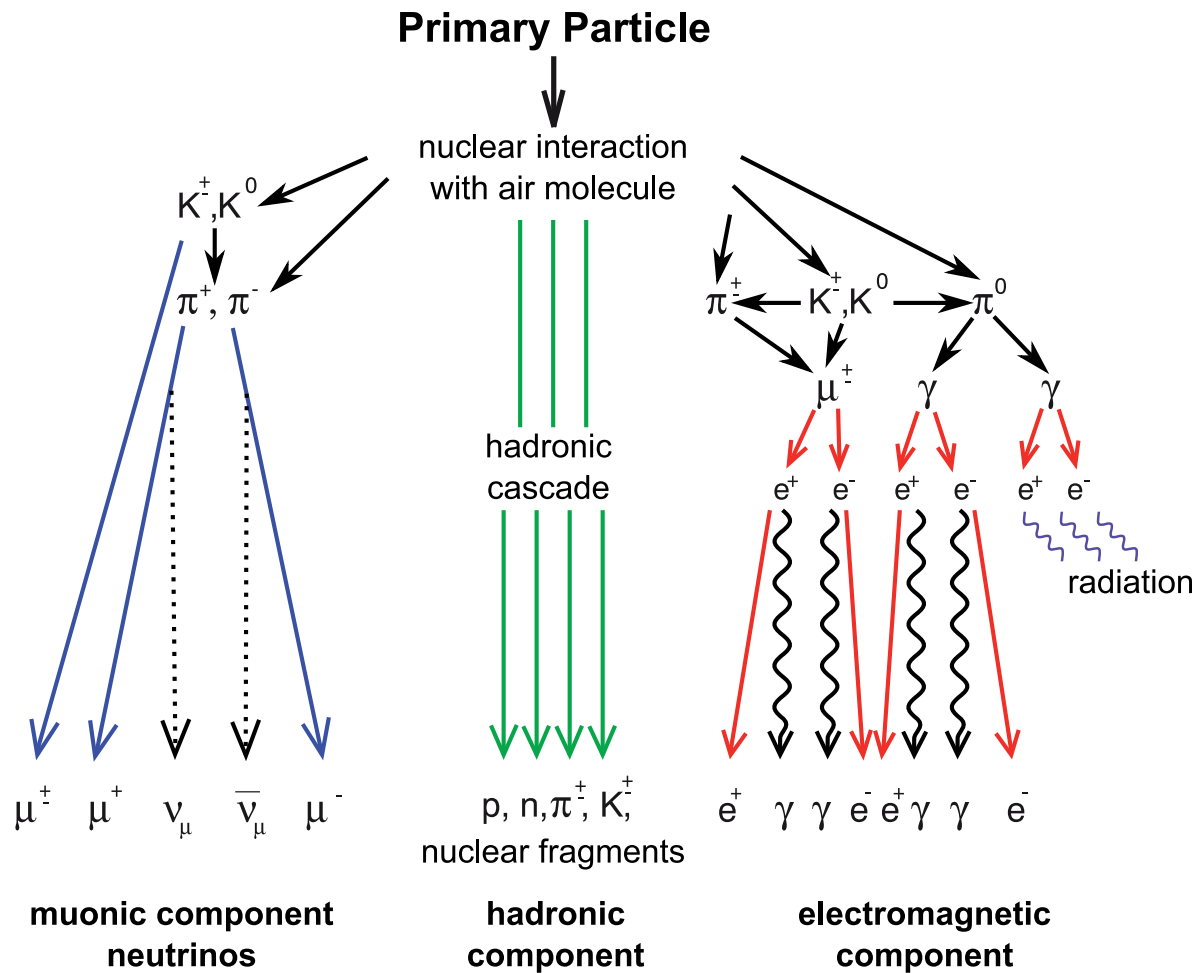


J.Oehlschlaeger,R.Engel,FZKarlsruhe

Anatomie eines Luftschauers

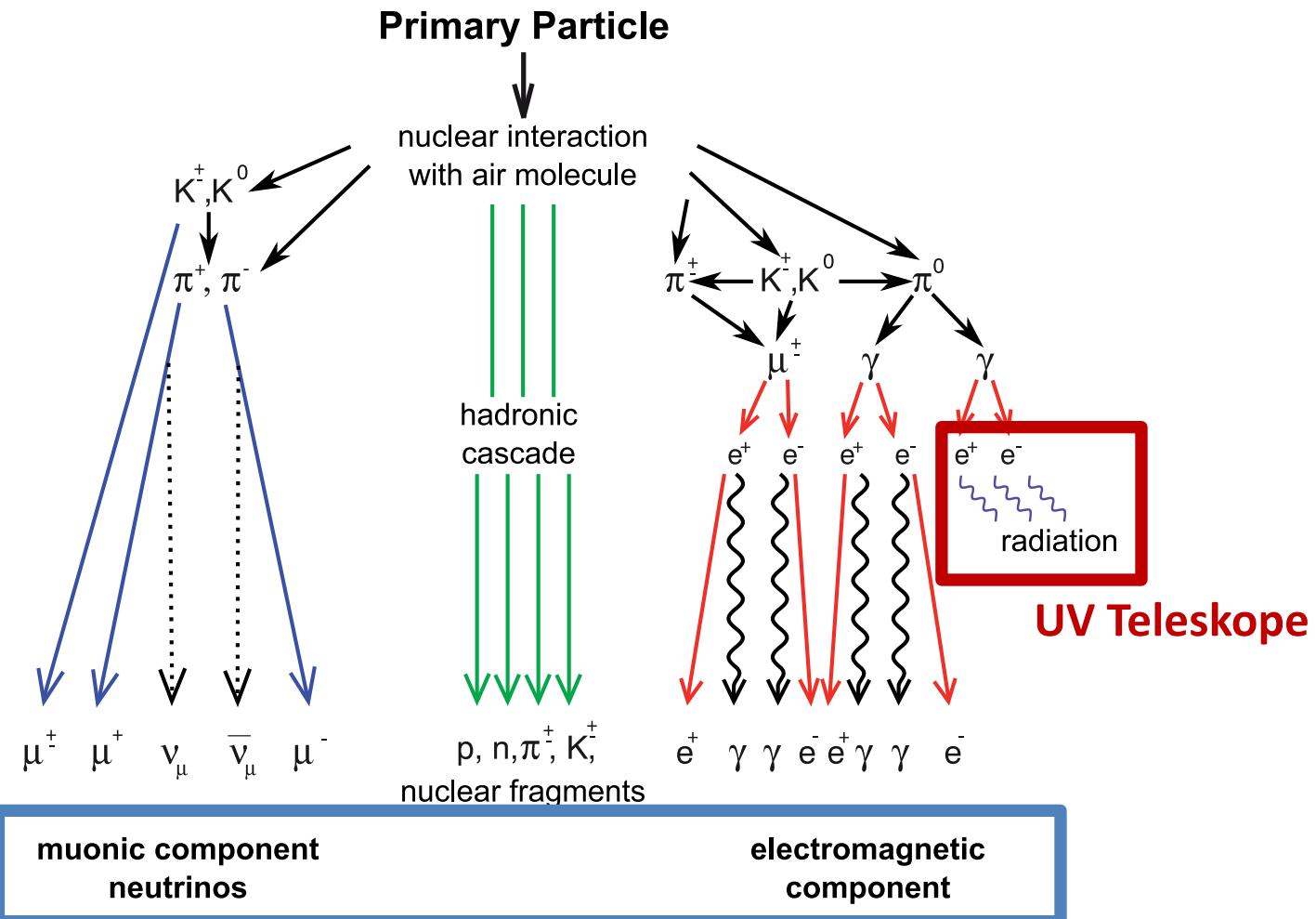
Myon

Wie Elektron, aber schwerer und instabil



Haungs et al., JoP Conf. Ser. 632 (2015) 012011

Anatomie eines Luftschauers



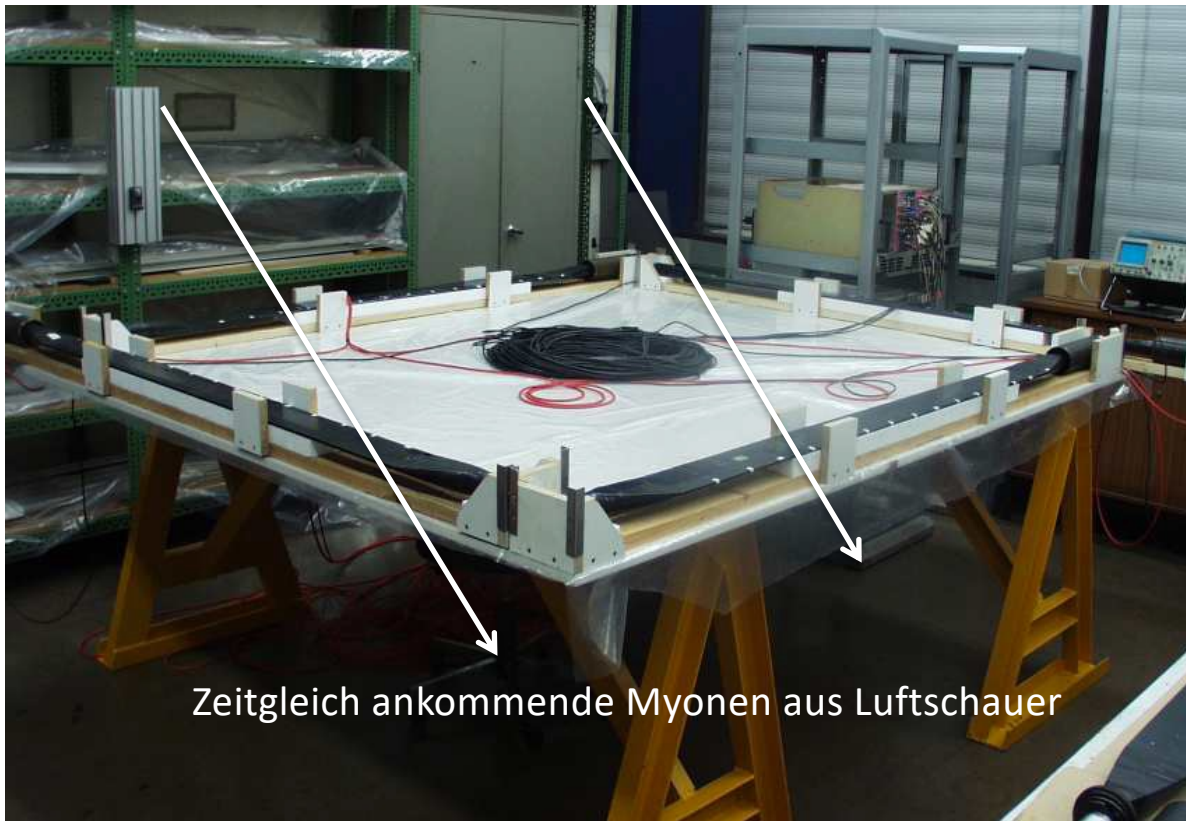
Haungs et al., JoP Conf. Ser. 632 (2015) 012011

Meine Diplomarbeit: Myonzähler



Einfacher Detektor für Luftschauder:
Rauschunterdrückung durch Koinzidenz (Zeitgleichheit) der Teilchensignale

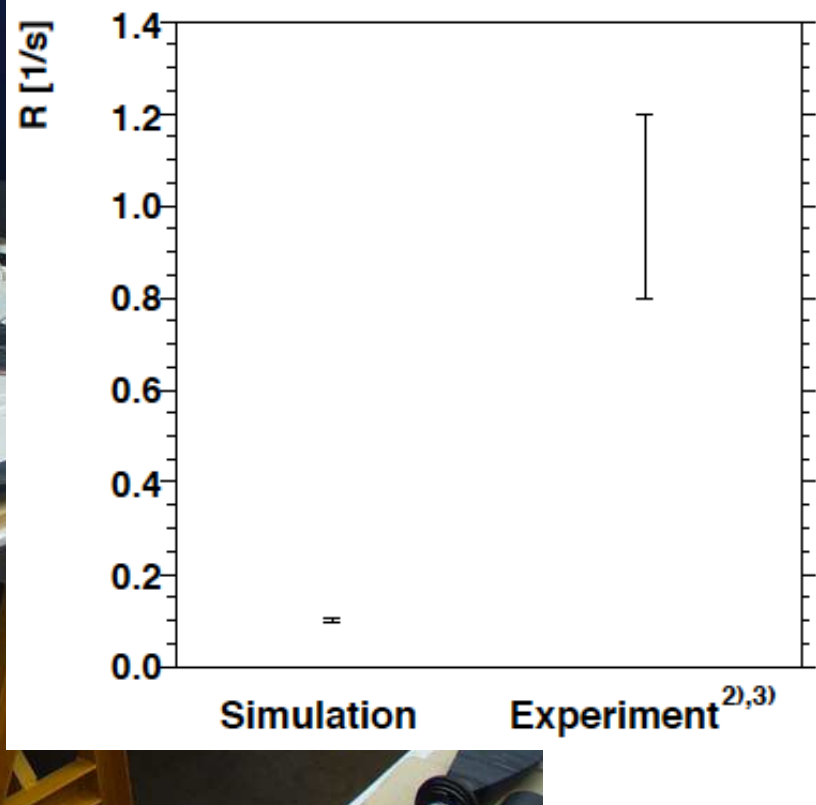
Meine Diplomarbeit: Myonzähler



Einfacher Detektor für Luftschauber:
Rauschunterdrückung durch Koinzidenz (Zeitgleichheit) der Teilchensignale

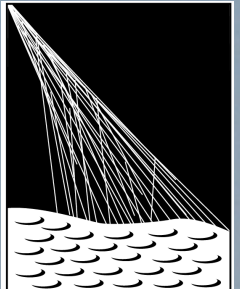
Meine Diplomarbeit: Myonzähler

2of4 Omen...?



Einfacher Detektor für Luftschauder:

Rauschunterdrückung durch Koinzidenz (Zeitgleichheit) der Teilchensignale



PIERRE
AUGER
OBSERVATORY

Fluorescence Detector

UV light from excited N₂

4 x 6 telescopes, 30° x 30°

+ 3 high-elevation telescopes

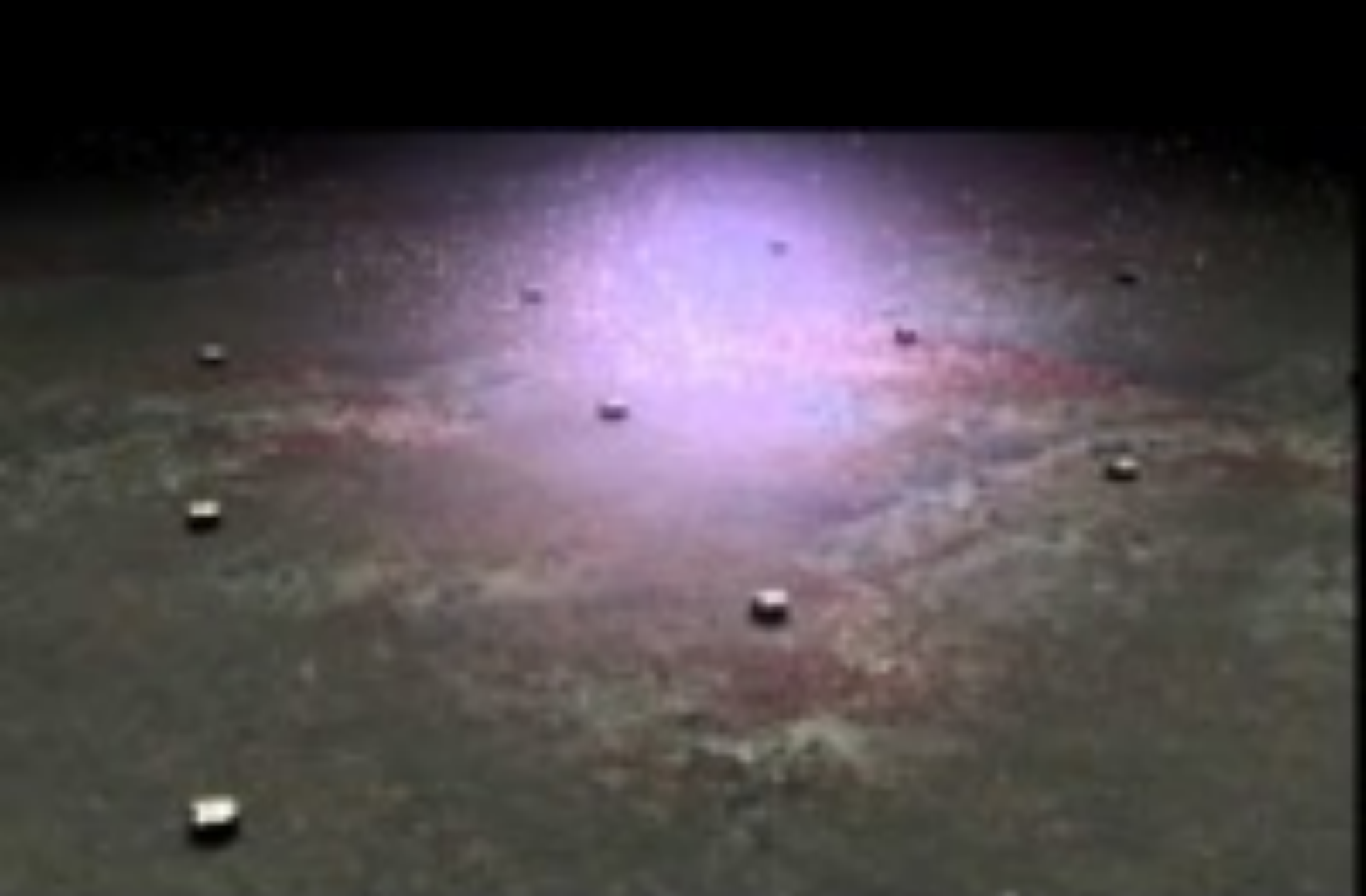
Surface Detector Array

charged particle + photon detector

1500 m grid: 1660 stations (3000 km²)

+ 750 m grid: 71 stations, (25 km²)

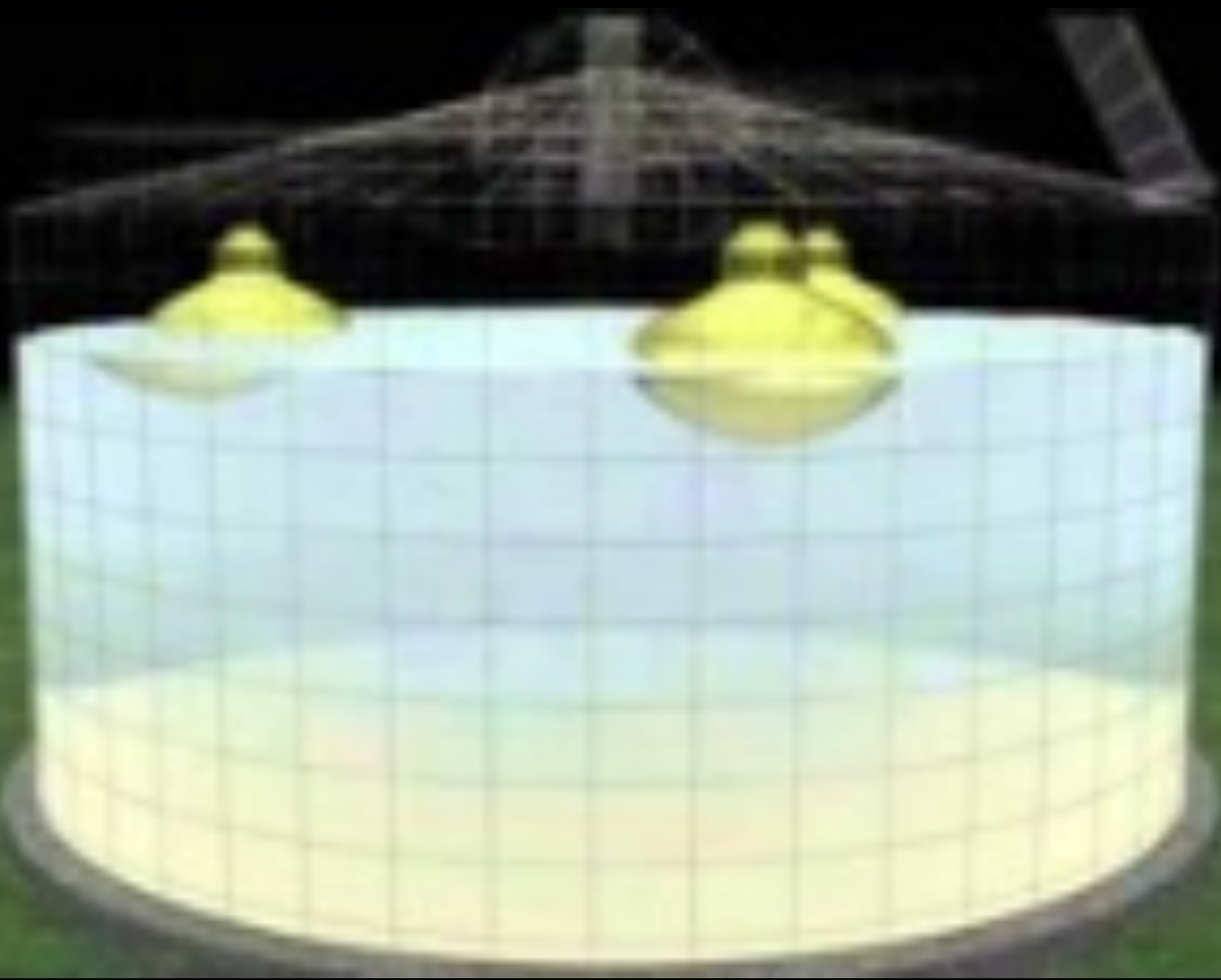




Quelle: Pierre Auger Observatory



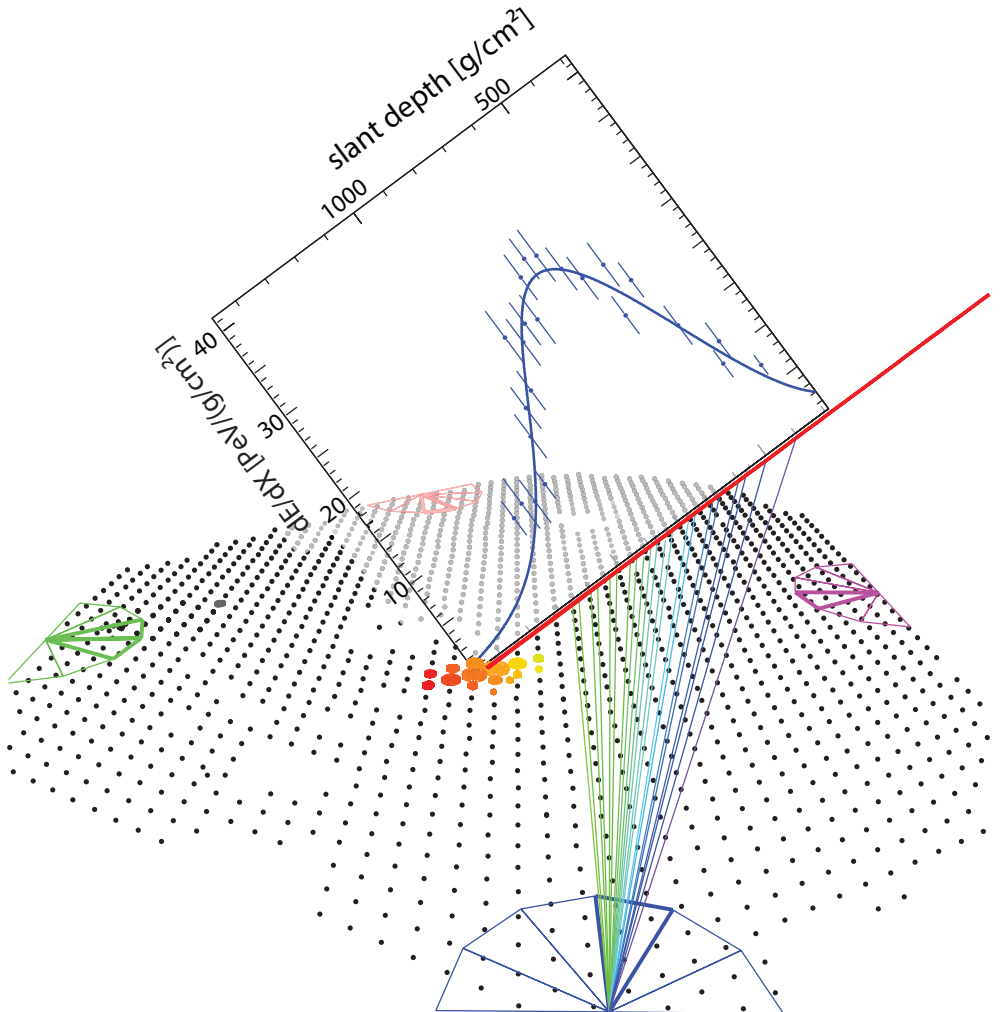
Quelle: Pierre Auger Observatory



Quelle: Pierre Auger Observatory

Luftschauermessung

Example: event observed with Pierre Auger Observatory



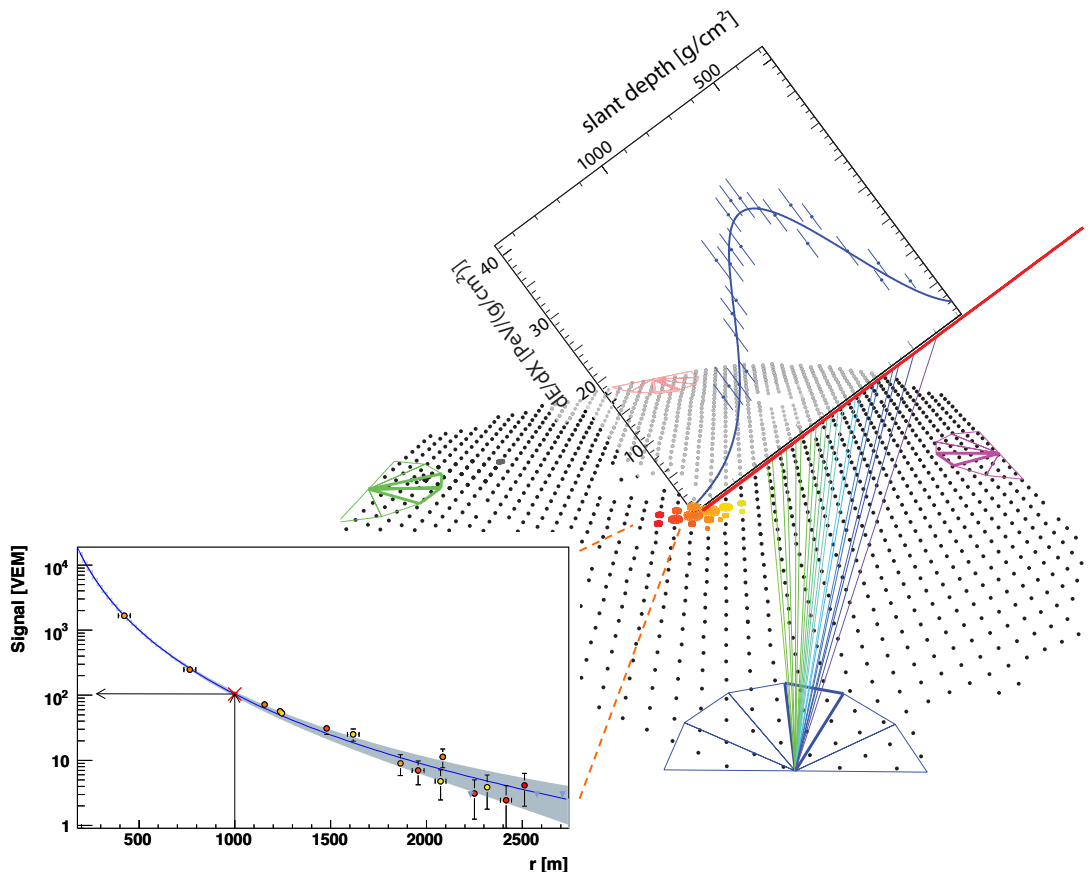
Artist impression of air shower

Image credit: Rebecca Pitt, Discovering Particles, CC BY-ND-NC 2.0



Luftschauermessung

Example: event observed with Pierre Auger Observatory



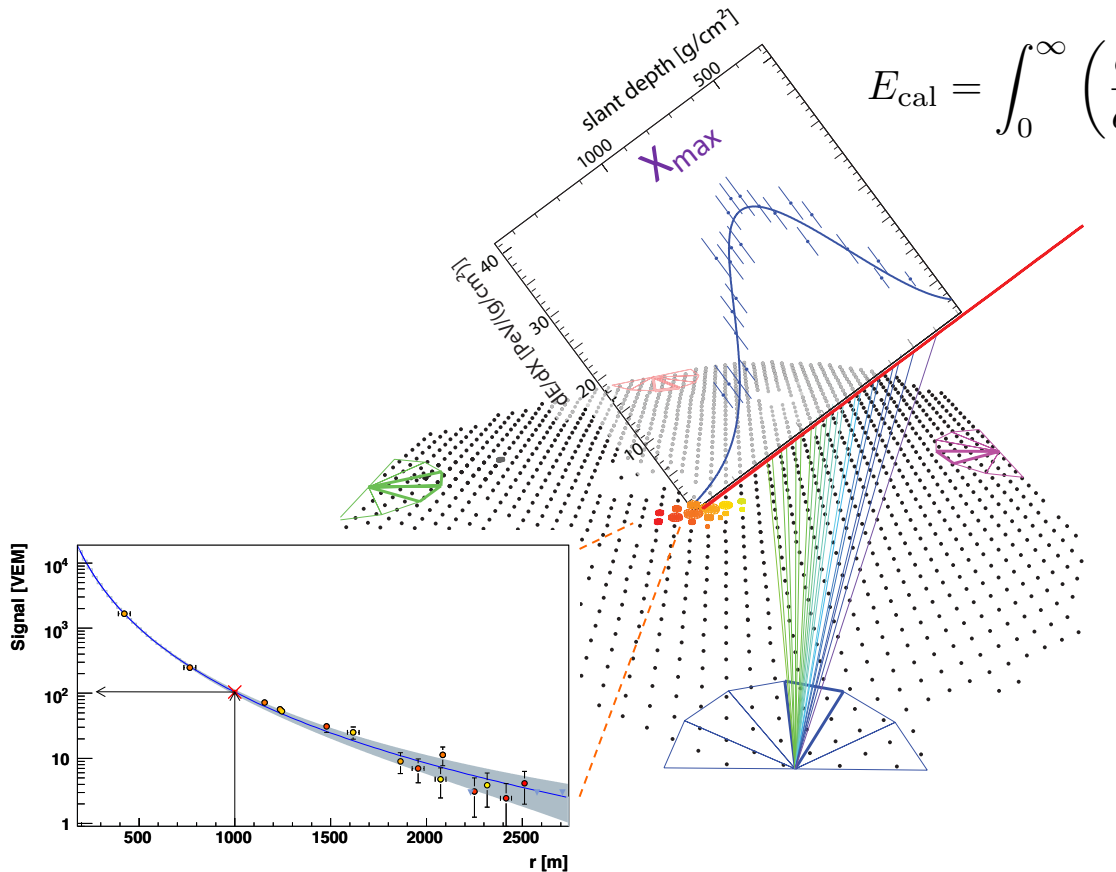
Artist impression of air shower

Image credit: Rebecca Pitt, Discovering Particles, CC BY-ND-NC 2.0



Luftschauermessung

Example: event observed with Pierre Auger Observatory



$$E_{\text{cal}} = \int_0^{\infty} \left(\frac{dE}{dX} \right)_{\text{ionization}} dX$$

- **Richtung** via Ankunftszeiten
- **Energie** via Lichtprofil
- **Masse** via
Tiefe des Schauermaximums X_{max}
Zahl der produzierten Myonen N_{μ}

Ground signal = **electrons, photons, muons**

Myondefizit in Luftschauersimulationen

HiRes-MIA experiment

Abu-Zayyad et al. PRL 84 (2000) 4276

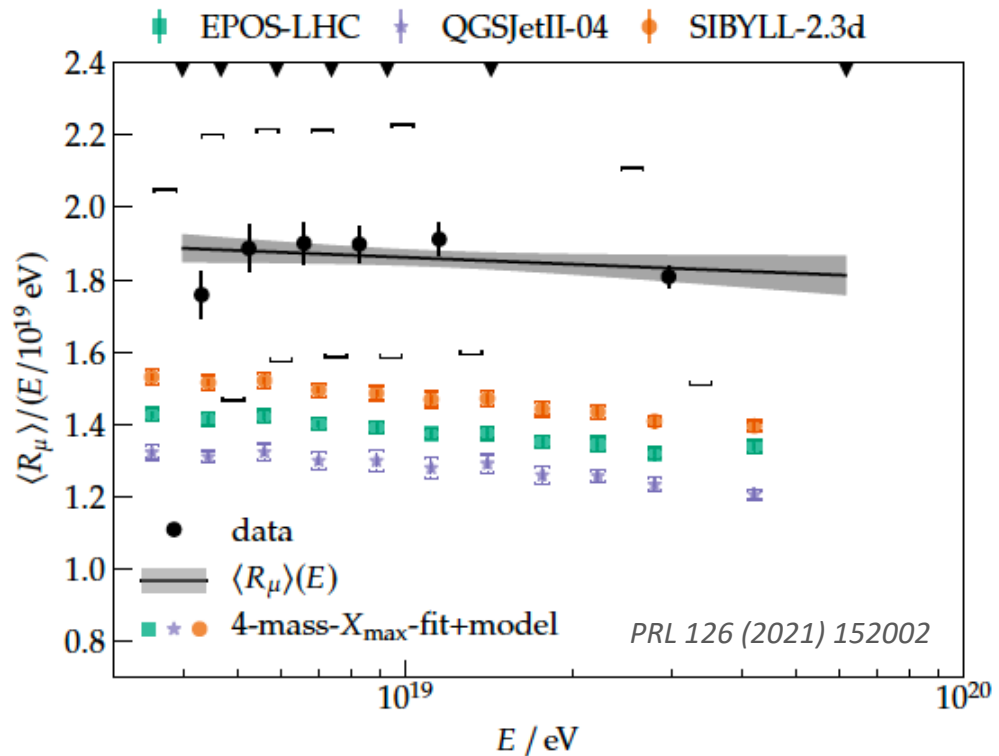
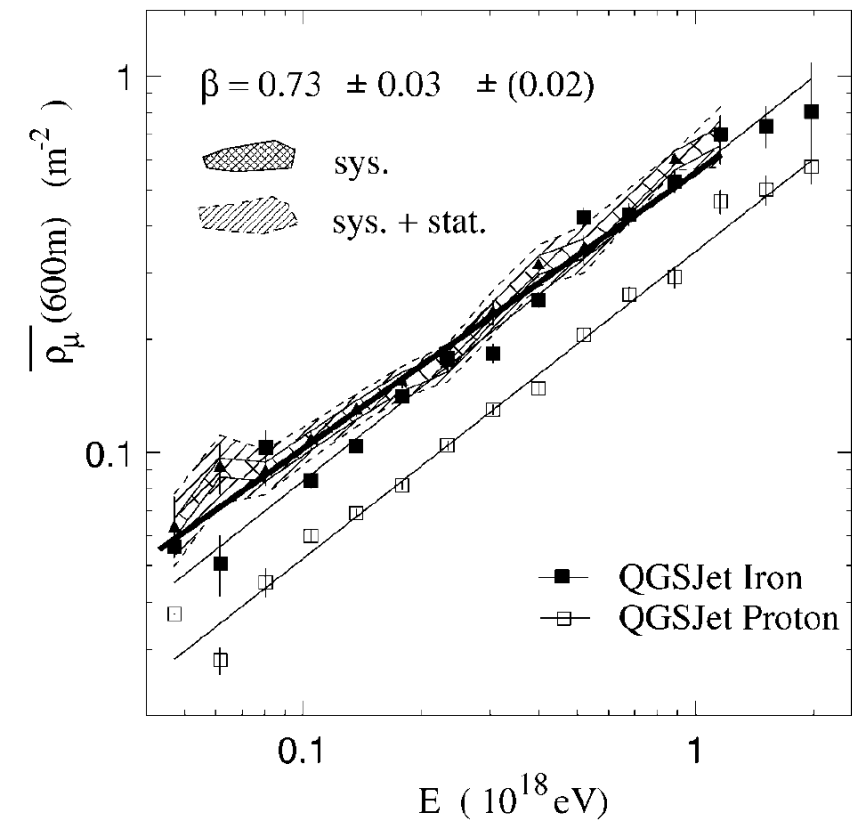
Pierre Auger Observatory

PRD 91 (2015) 032003

PRL 117 (2016) 192001

Eur. Phys. J. C (2020) 80:751

PRL 126 (2021) 152002



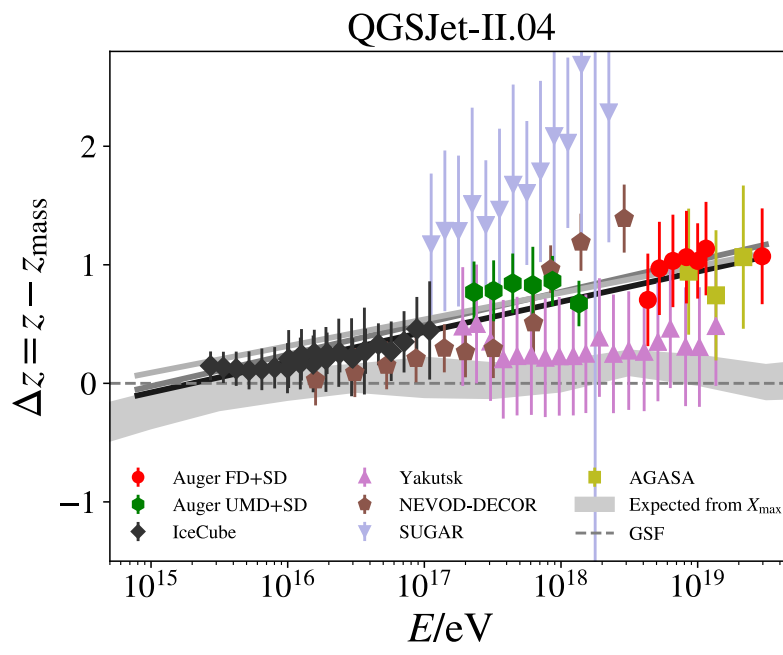
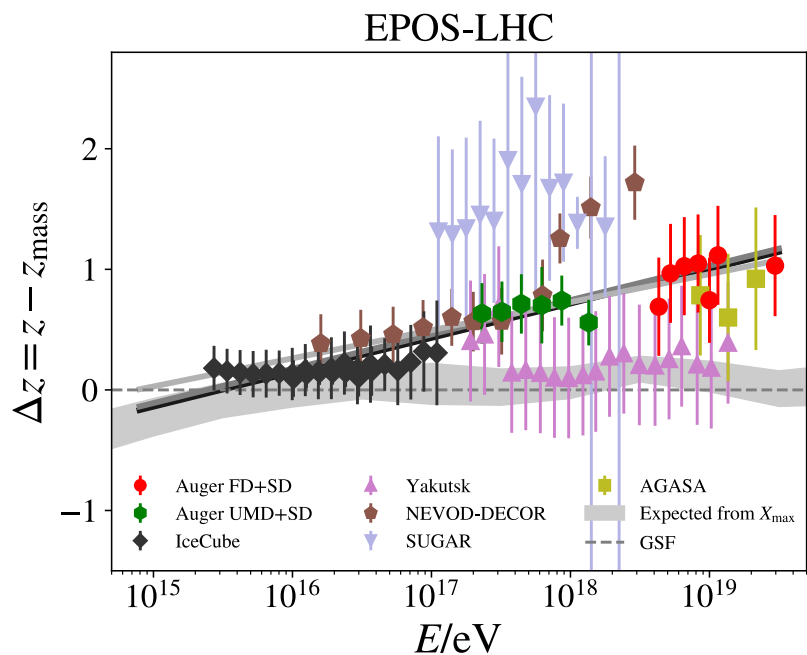
Myonedefizit in Simulationen

Abstrakte Myonenskala
Unabhängig vom Experiment
Abhängig von Simulation

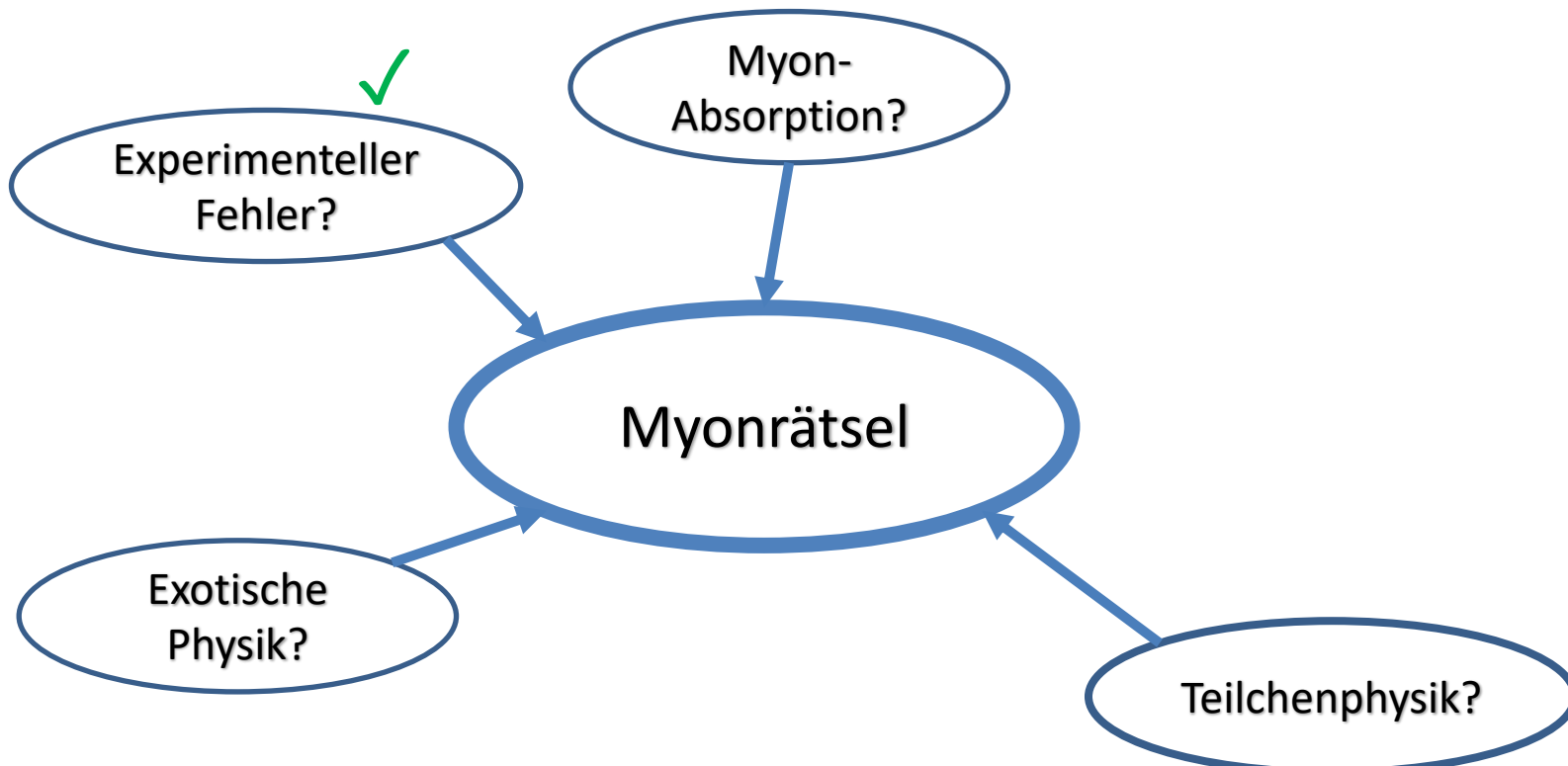
$$z = \frac{\ln(N_{\mu}^{\text{det}}) - \ln(N_{\mu, p-\text{sim}}^{\text{det}})}{\ln(N_{\mu, \text{Fe-sim}}^{\text{det}}) - \ln(N_{\mu, p-\text{sim}}^{\text{det}})}$$

$$z_{\text{mass}} \approx \frac{\langle \ln A \rangle}{\ln 56}$$

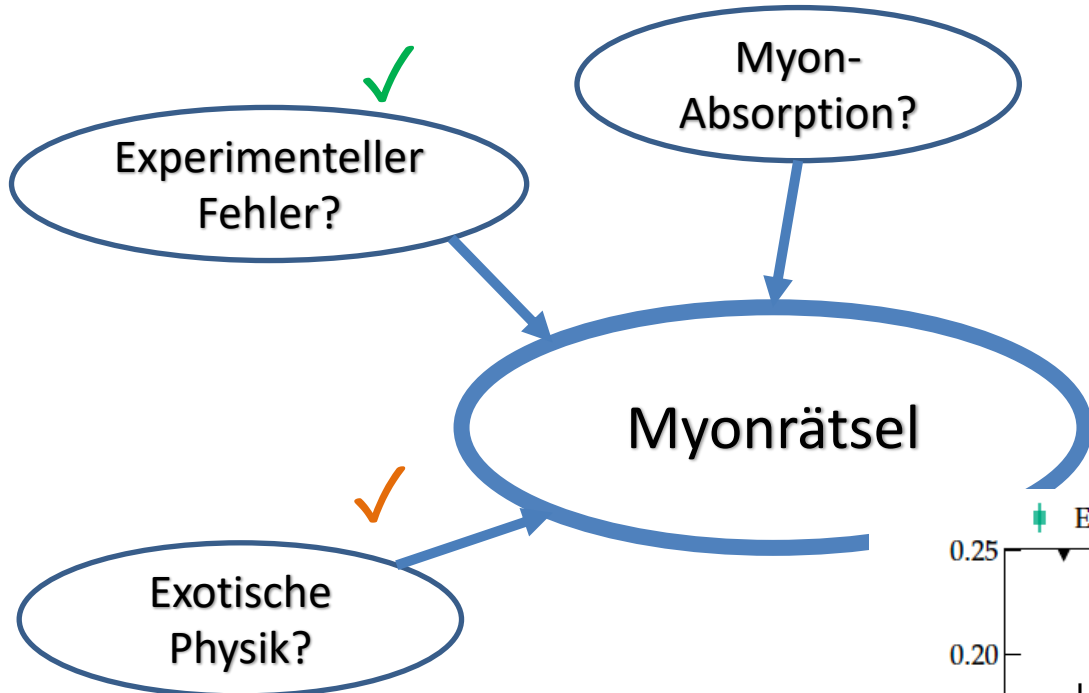
PoS(ICRC2021)349



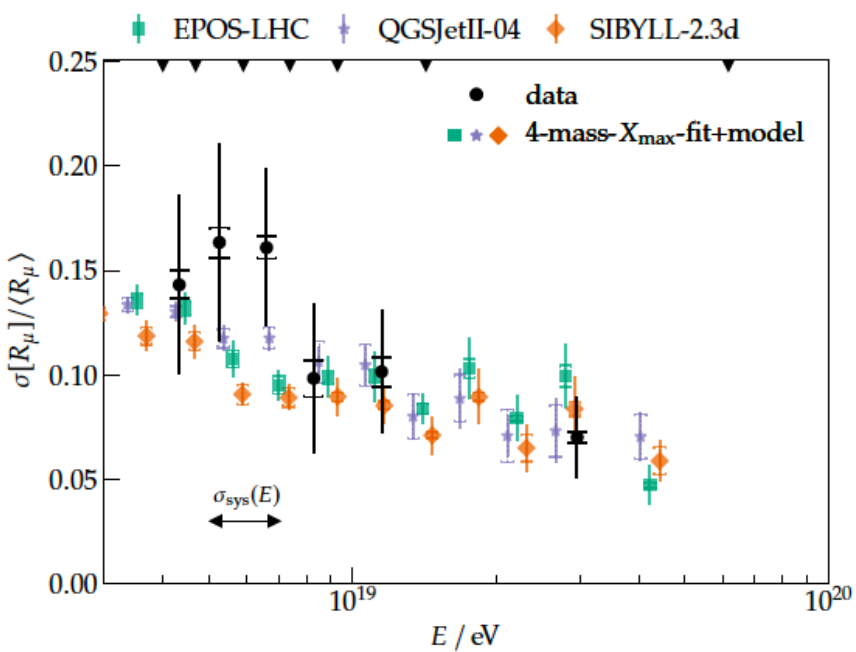
Suche nach Ursachen für Myon-Rätsel



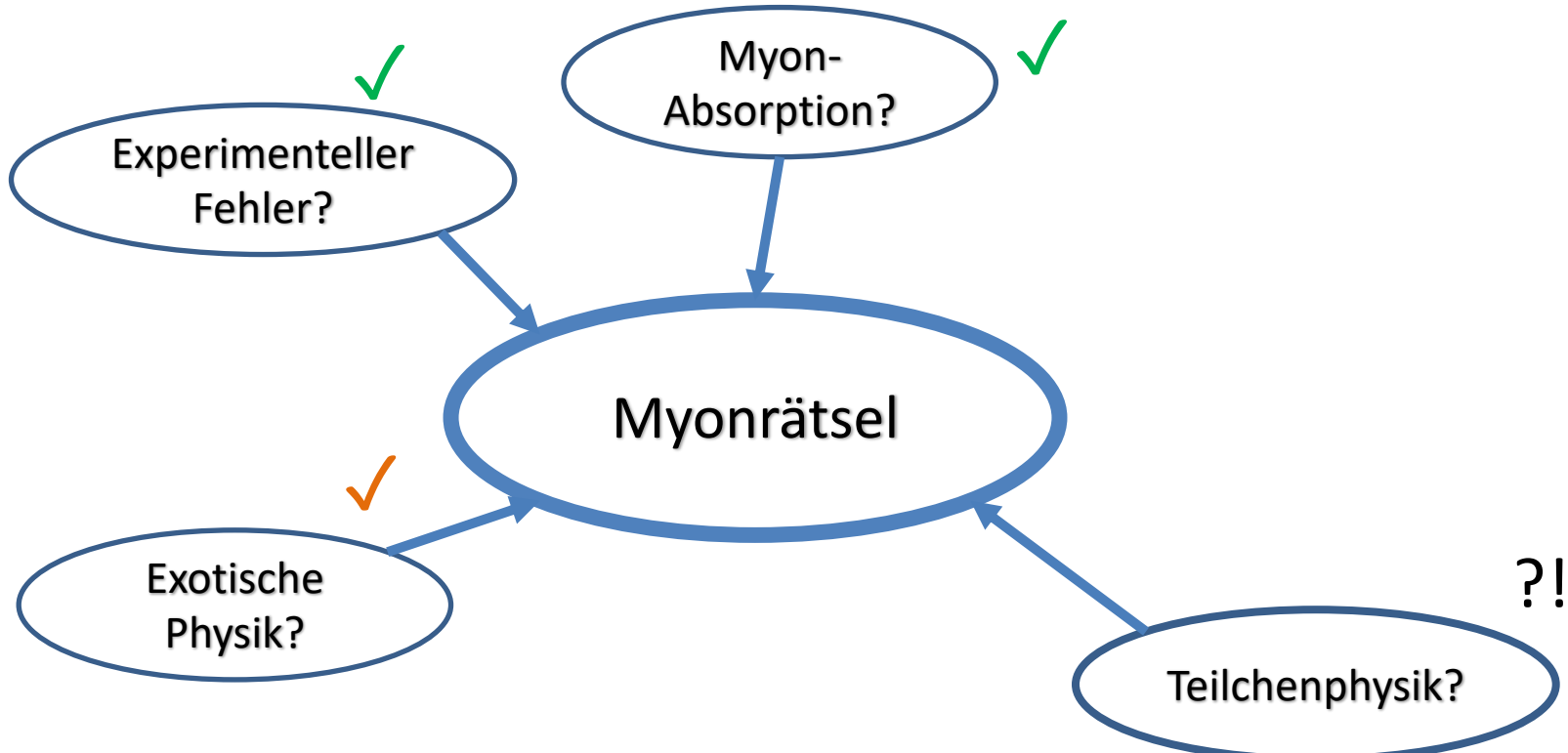
Suche nach Ursachen für Myon-Rätsel



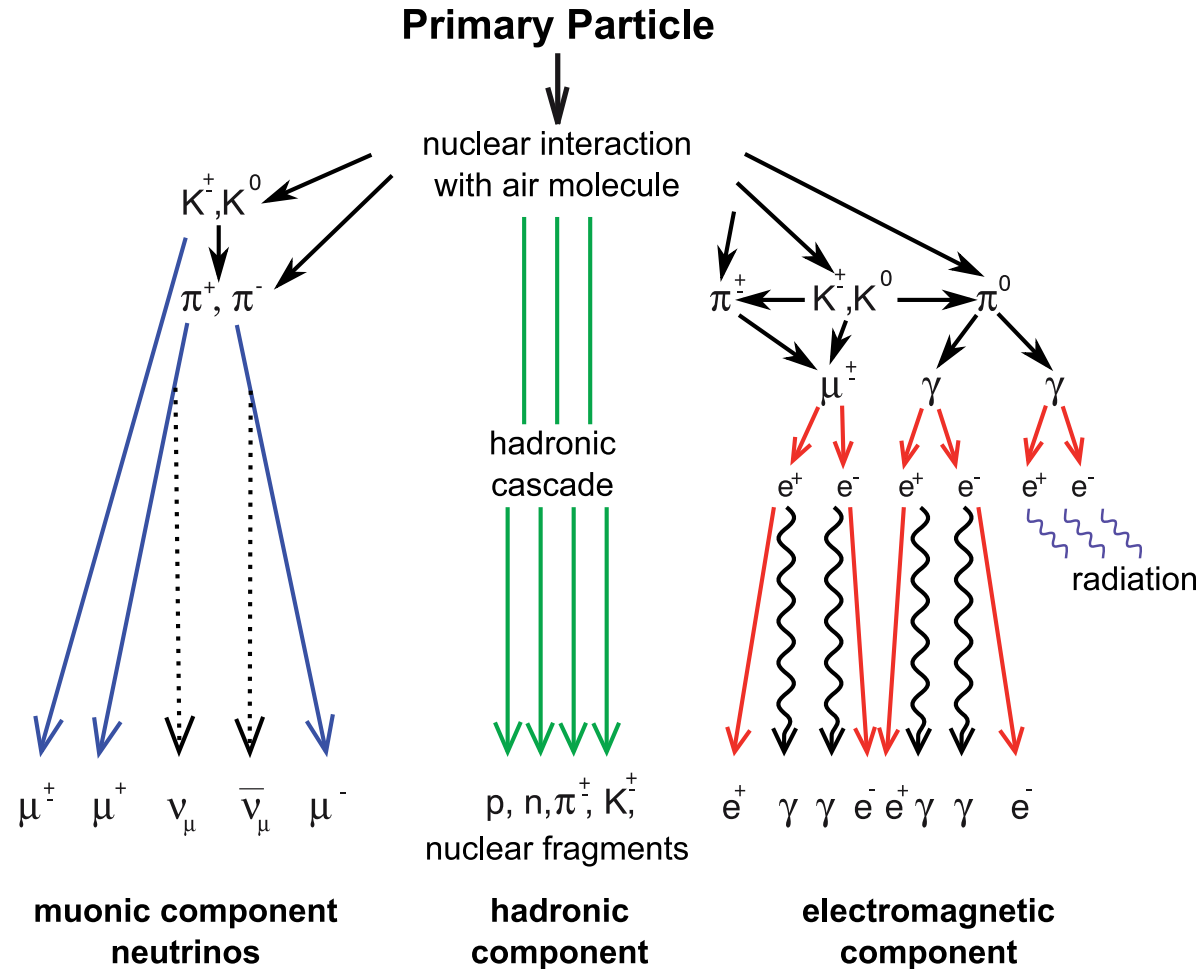
Erstmalige Messung von Myonzahl-Fluktuationen
Pierre Auger collab., PRL 126 (2021) 15, 152002



Suche nach Ursachen für Myon-Rätsel



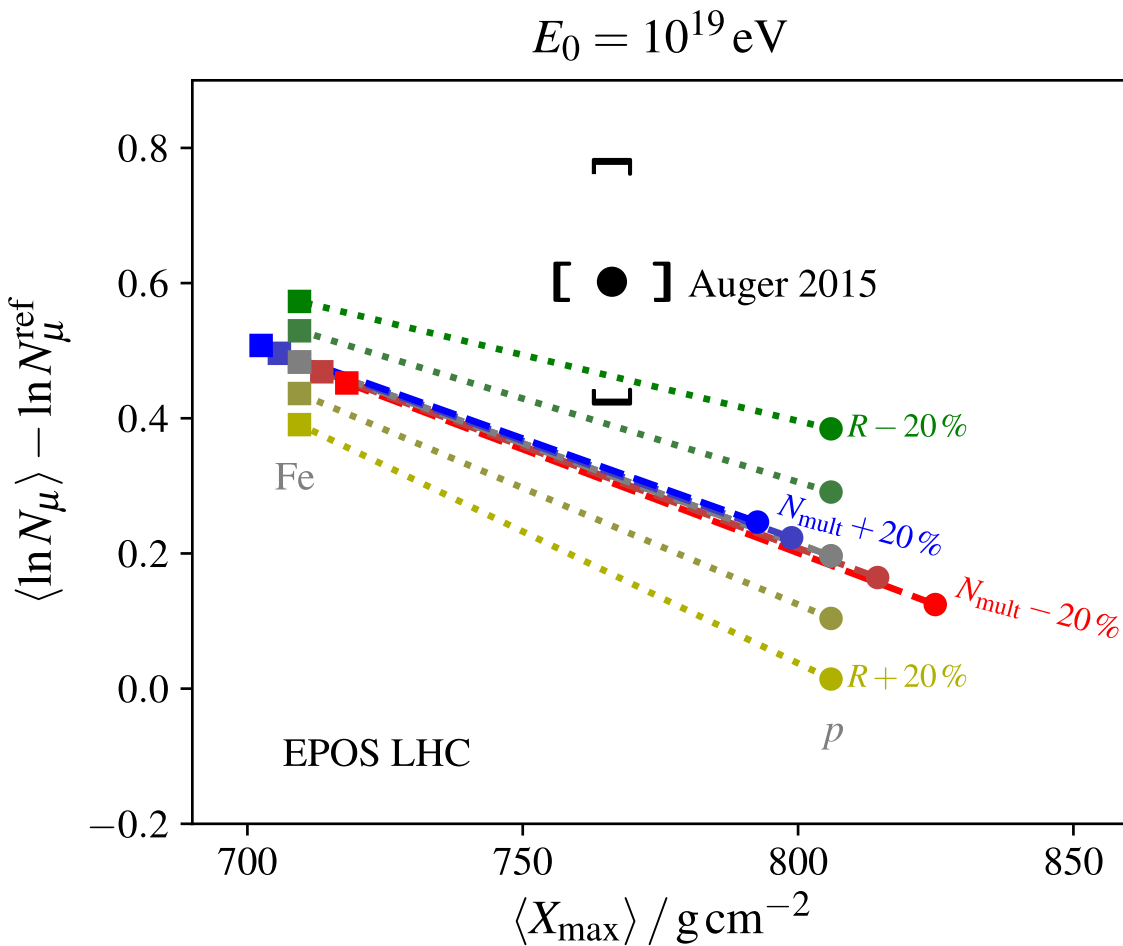
Anatomie eines Luftschauers



Haungs et al., JoP Conf. Ser. 632 (2015) 012011

Teilchenphysik und Myonrätsel

S. Baur, HD, M. Perlin, T. Pierog, R. Ulrich, K. Werner,
arXiv:1902.09265



$$R = \frac{E_{\pi^0}}{E_{\text{other hadrons}}}$$

Hadronen: p, n, π , K...

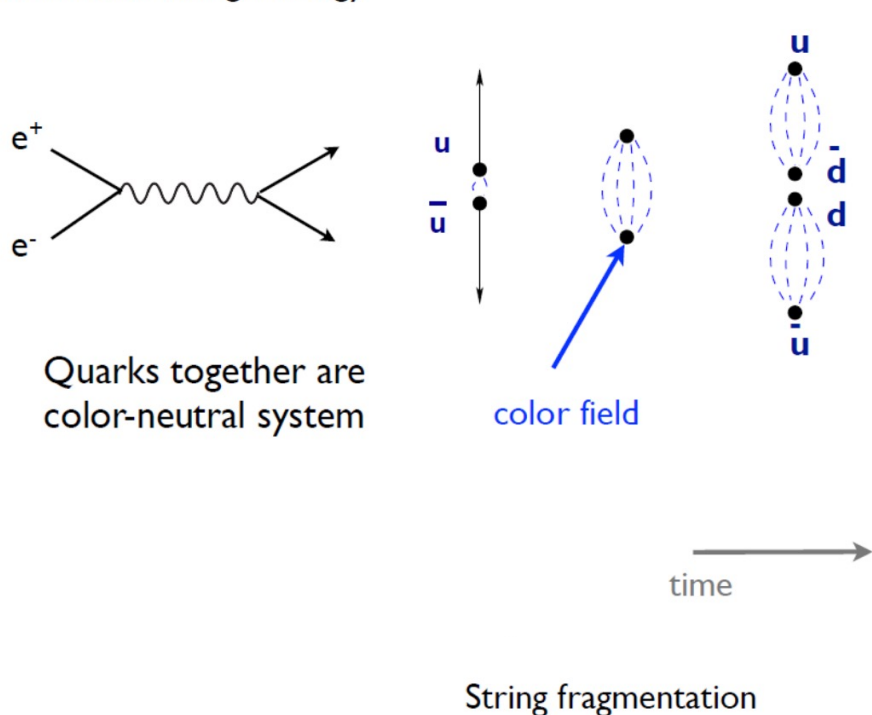
Pionen: $\pi^{+/-}, \pi^0$

Häufigste instabile Hadronen

Problem: R ist eigentlich fixiert

T. Pierog, K. Werner, NA61-theory talk (2015); figure from R. Engel

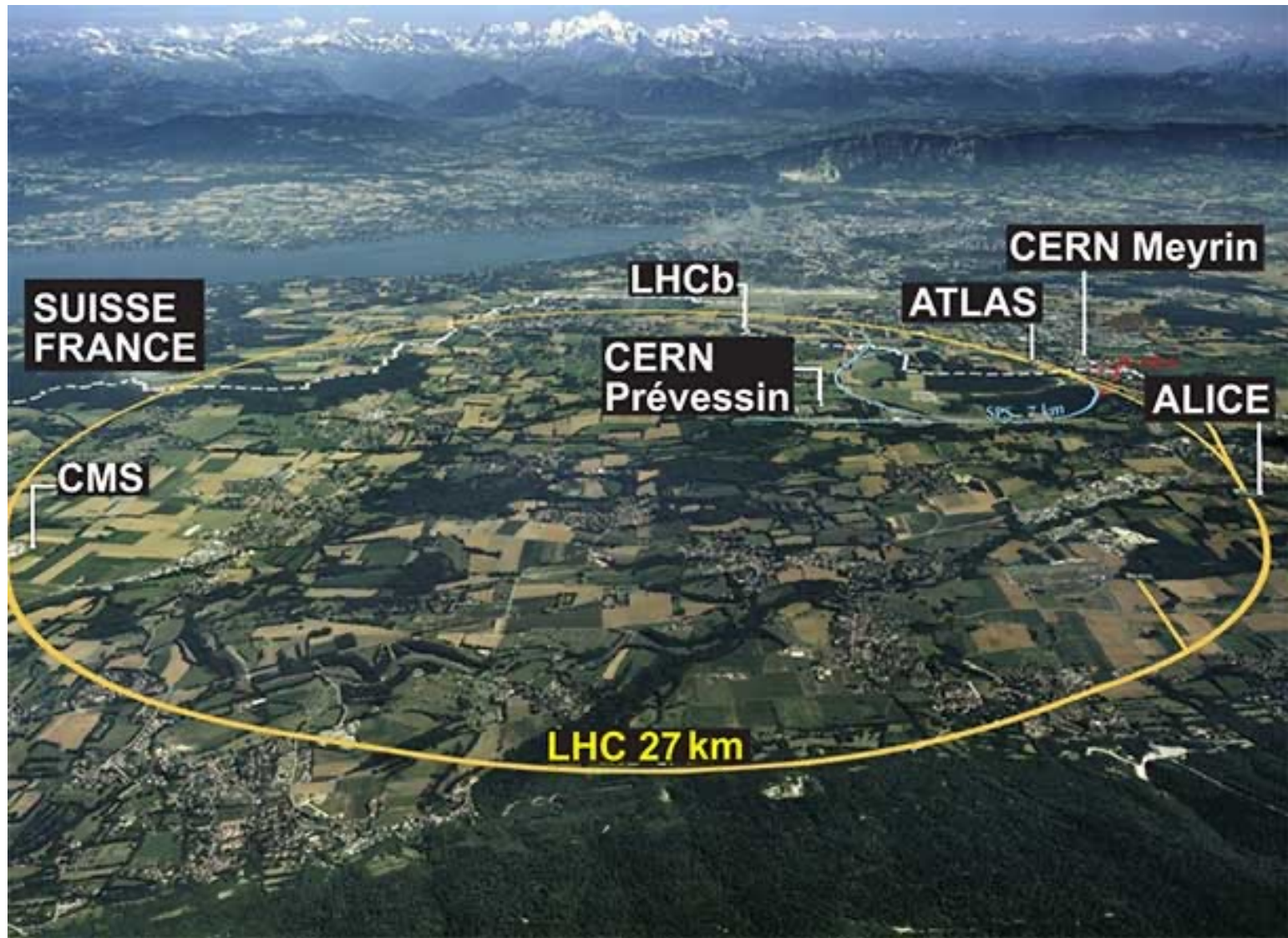
Annihilation at high energy



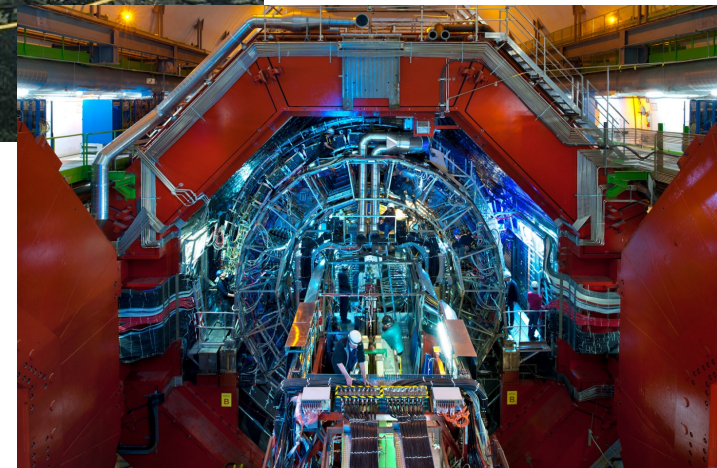
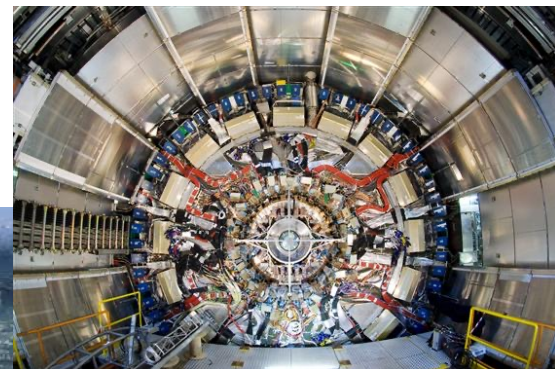
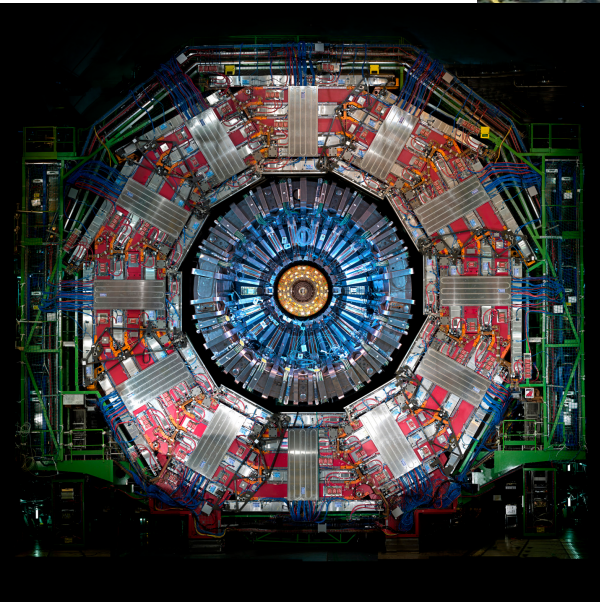
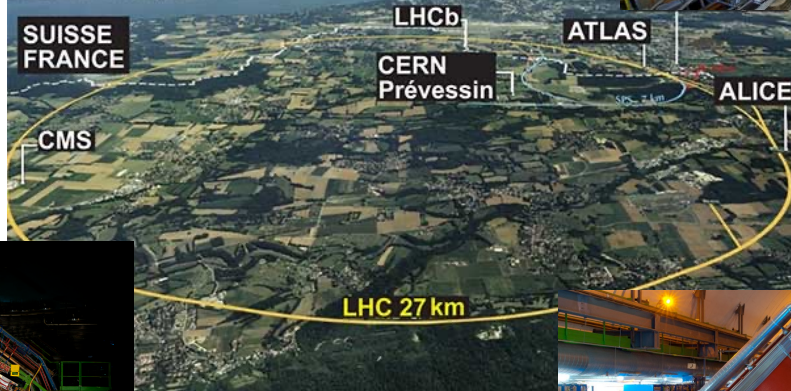
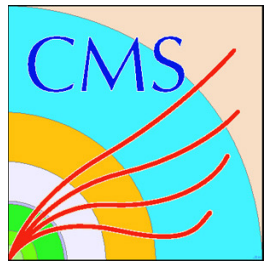
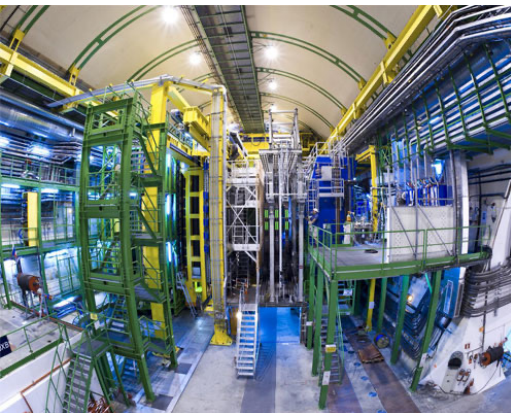
Probabilities to generate
quark pairs independent
of collision details

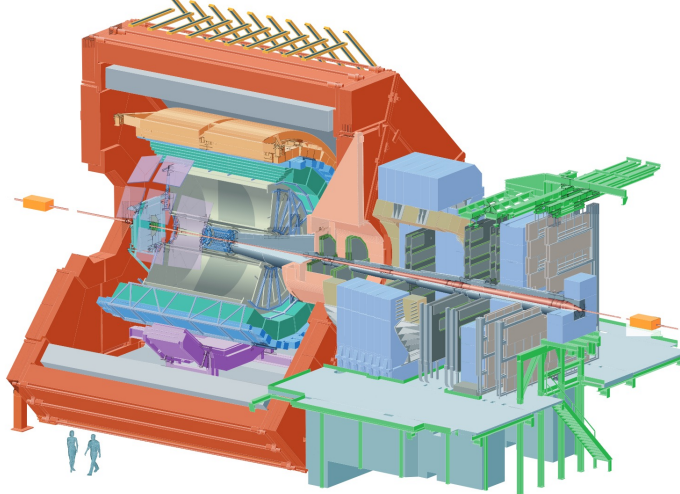
•	$u\bar{d}$	π^+
•	$d\bar{u}$	π^-
••	$\bar{u}u\bar{d}$	\bar{p}
••	$u\bar{d}\bar{d}$	n
••	$u\bar{s}$	K^+
••	$s\bar{d}$	K^-
••	$u\bar{d}$	π^+
••	$q\bar{q}$	
••	$q\bar{q}$...
••	$q\bar{q}$	

Large Hadron Collider (LHC)

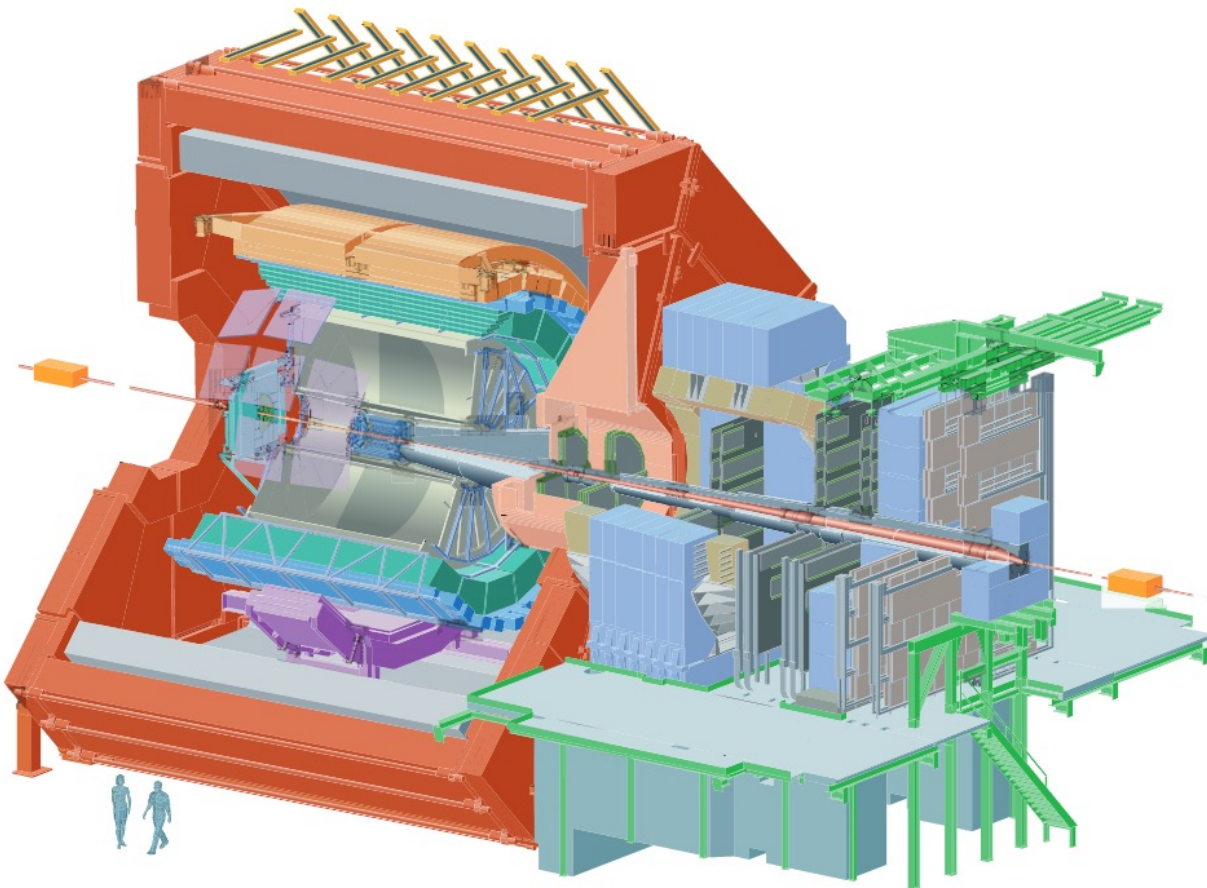
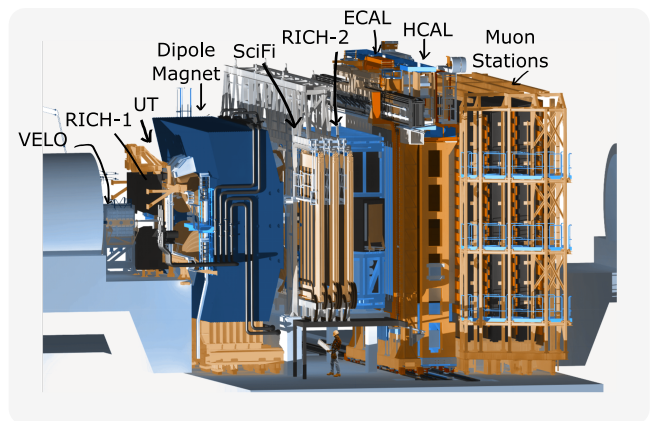


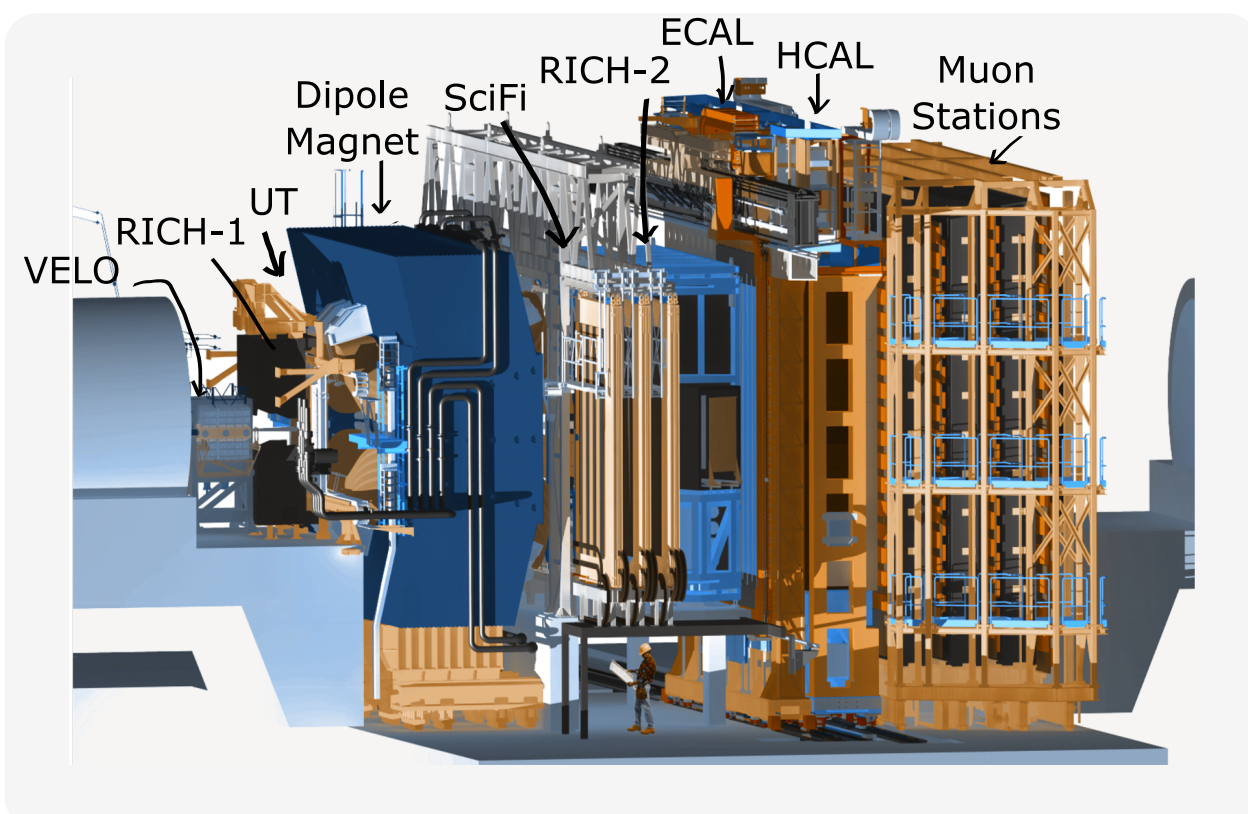
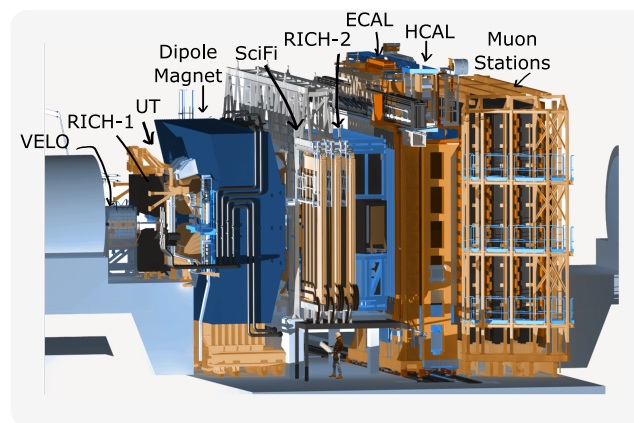
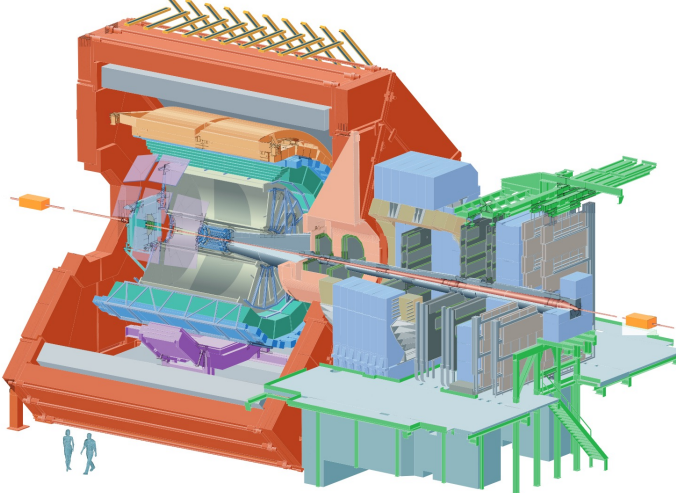
Experimente am LHC

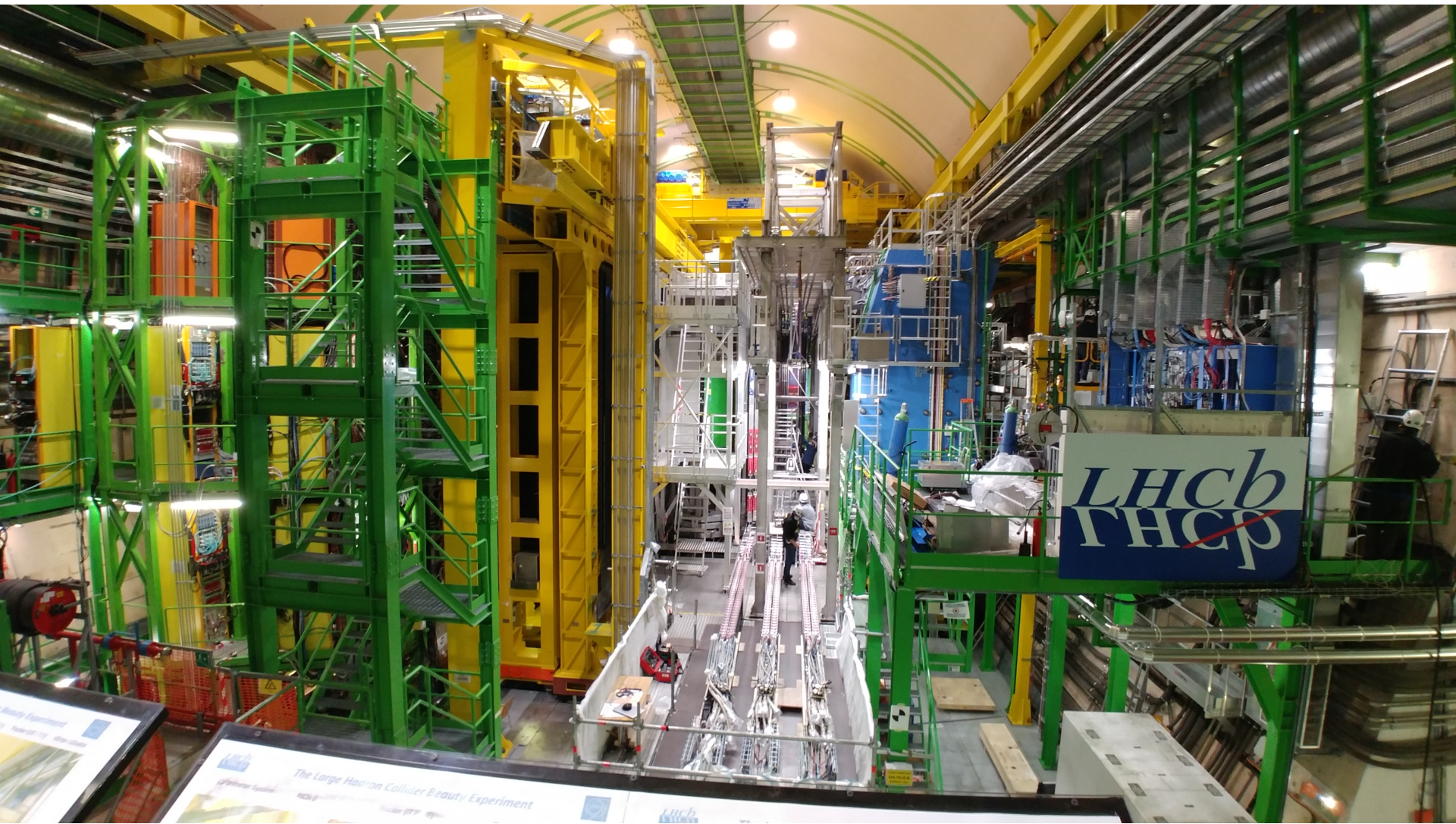




LHCb
FCC





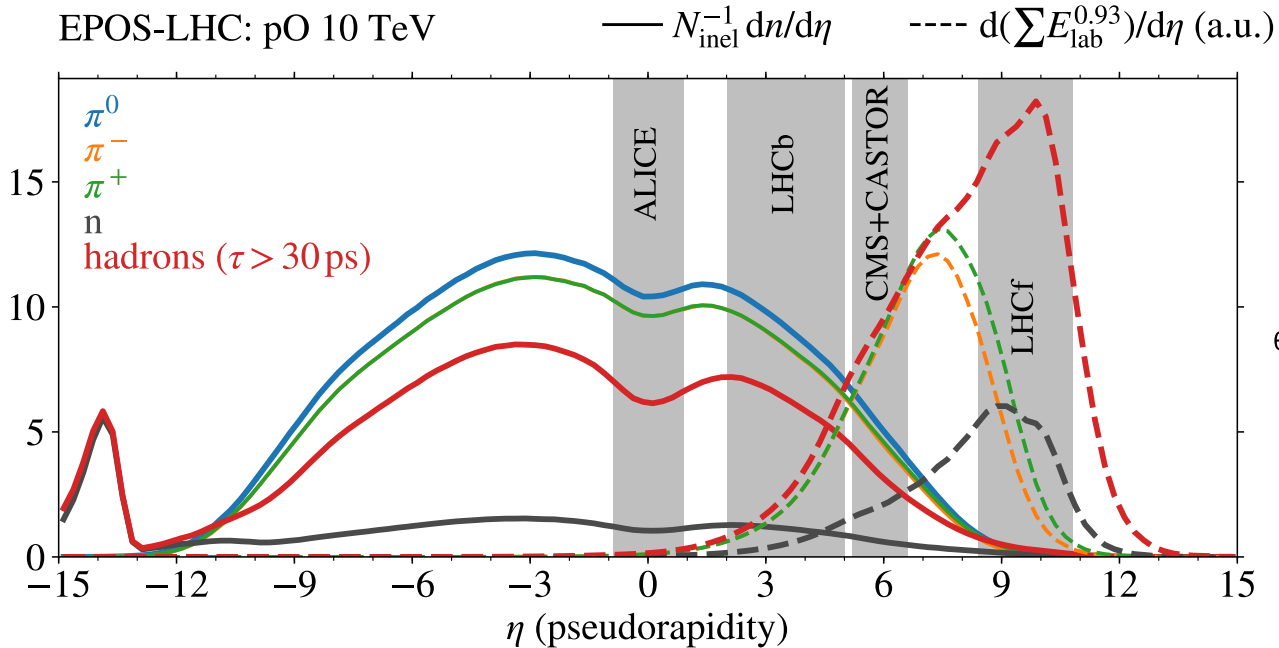


Vorwärtsproduktion und Luftschauder

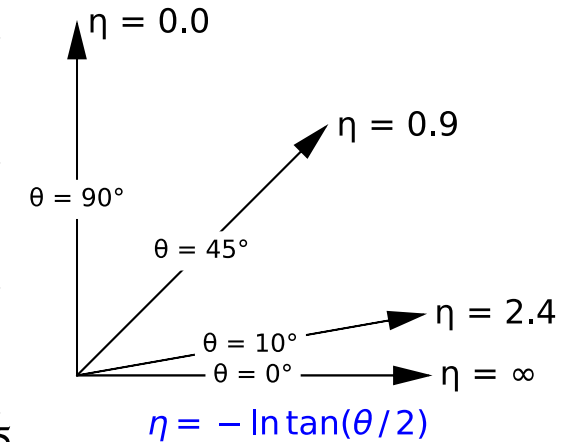
Albrecht, HD et al., *Astrophys. Space Sci.* 367 (2022) 3, 27
arXiv:2105.06148

Gestrichelte Linie

Wie viele Myonen würde das Teilchen
in einem Luftschauder erzeugen

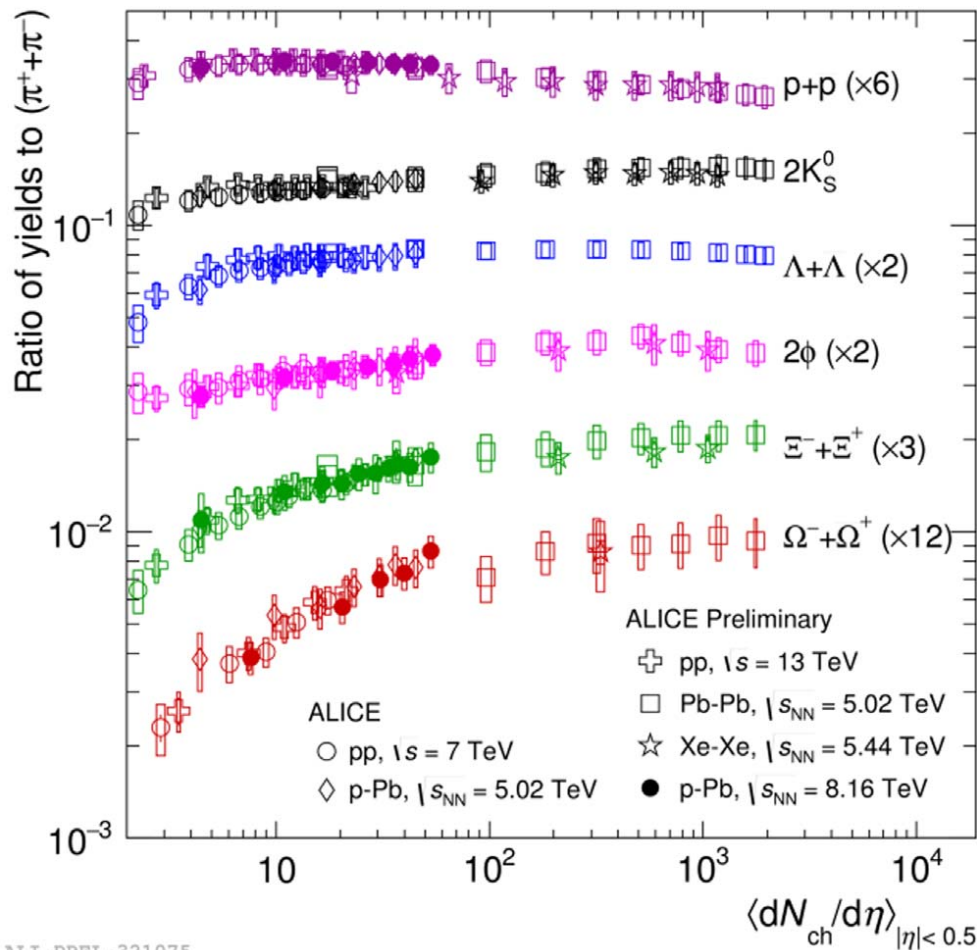


η und Emissionswinkel



Myonrätsel und seltsame Teilchen

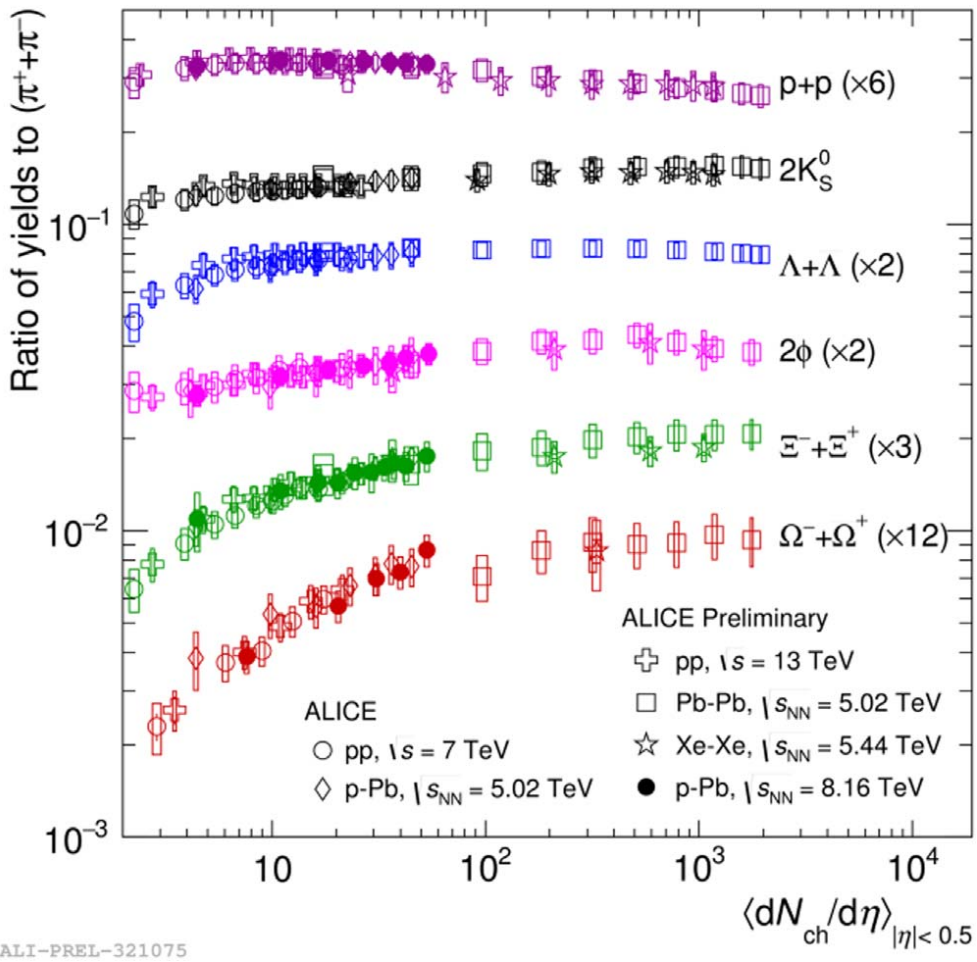
M. Vasileiou for ALICE, Phys. Scr. 95 (2020) 064007



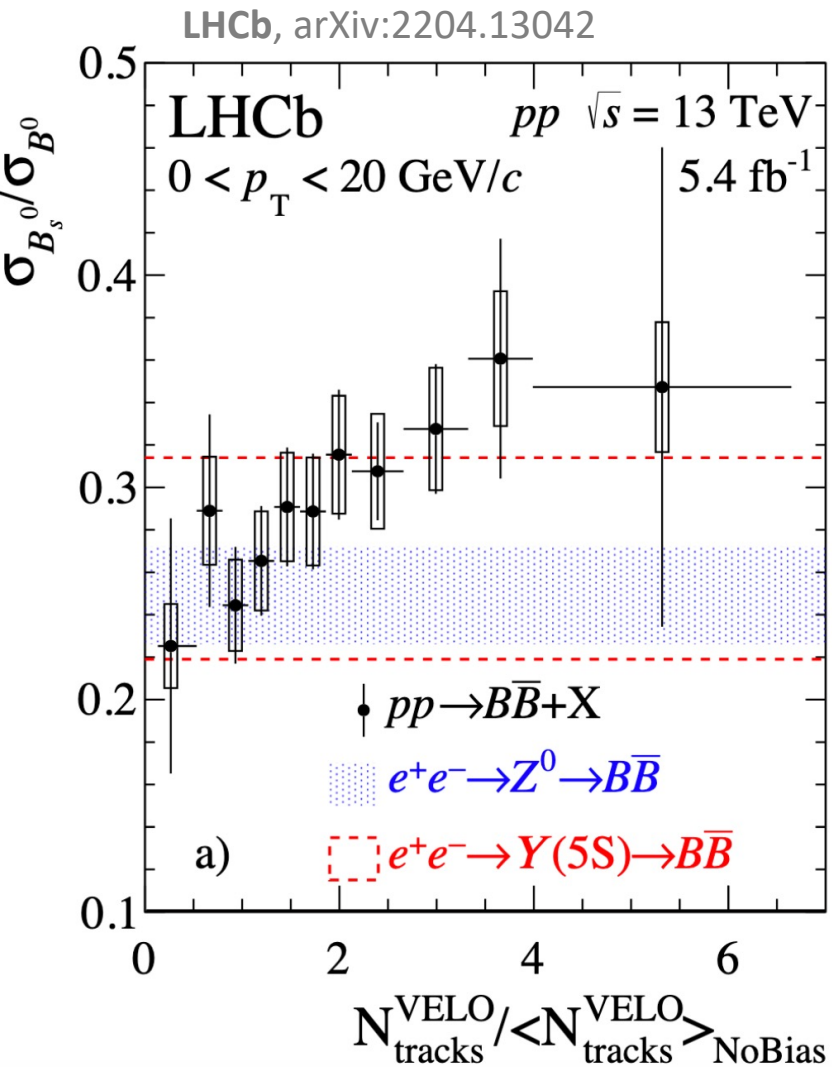
ALI-PREL-321075

Myonrätsel und seltsame Teilchen

M. Vasileiou for ALICE, Phys. Scr. 95 (2020) 064007



ALI-PREL-321075



Zusammenfassung

- Kosmische Strahlung
 - Boten von extremen Prozessen im Universum
 - Hochenergetische Strahlung mit Luftschauder detektoren gemessen

Zusammenfassung

- Kosmische Strahlung
 - Boten von extremen Prozessen im Universum
 - Hochenergetische Strahlung mit Luftschauder detektoren gemessen
- Myonrätsel in Luftschaubern
 - Mehr Myonen in echten Luftschaubern als von Modellen vorhergesagt

Zusammenfassung

- Kosmische Strahlung
 - Boten von extremen Prozessen im Universum
 - Hochenergetische Strahlung mit Luftschauder detektoren gemessen
- Myonrätsel in Luftschaudern
 - Mehr Myonen in echten Luftschaudern als von Modellen vorhergesagt
- Wahrscheinlichster Ursprung: Teilchenproduktion nicht korrekt beschrieben
 - Vielleicht muss neue Art von Teilchenproduktion berücksichtigt werden
 - Keine "neue Physik" (neue Kraft oder neue Teilchen) dazu nötig

Zusammenfassung

- Kosmische Strahlung
 - Boten von extremen Prozessen im Universum
 - Hochenergetische Strahlung mit Luftschauder detektoren gemessen
- Myonrätsel in Luftschaubern
 - Mehr Myonen in echten Luftschaubern als von Modellen vorhergesagt
- Wahrscheinlichster Ursprung: Teilchenproduktion nicht korrekt beschrieben
 - Vielleicht muss neue Art von Teilchenproduktion berücksichtigt werden
 - Keine "neue Physik" (neue Kraft oder neue Teilchen) dazu nötig
- Starke Wechselwirkung ("Kraft")
 - Hält Atomkerne zusammen und Vorstufe der Myonproduktion im Luftschauber
 - Im Grunde verstanden, aber Vorhersagen schwierig
 - Noch nicht alle Effekte verstanden
 - Fakt: Mehr "seltsame" Teilchen bei hohen Energien/Teilchendichten als bislang erwartet
 - Könnte Schlüssel für das Myonrätsel sein
 - LHCb Experiment am LHC hat Schlüsselrolle aufgrund Vorwärtsausrichtung



Faszination Astronomie Online

#FasziAstroOnline

www.haus-der-astronomie.de/faszi-astro-online

Donnerstag, 9. Juni 2022 um 19 Uhr live

Von Eisvulkanen, verborgenen Ozeanen und Lava-Welten: Eine Reise zu den Monden im Sonnensystem

PD Dr. René Heller, Max-Planck-Institut für
Sonnensystemforschung

Bilder: NASA/JPL/Space Science Institute/Ted Stryk